

18189

UNIVERZITET U BEOGRADU
TEHNOLOŠKO-METALURŠKI FAKULTET
BEOGRAD

Mr Tomislav Lj Tršović
**KINETIKA ELEKTROHEMIJSKE REAKCIJE
REDUKCIJE GLUKOZE**

doktorska disertacija

Beograd, 2003 godine

УНИВЕРЗИТЕТСКА БИБЛИОТЕКА
"СВЕТОЈАР МАРКОВИЋ"-БЕОГРАД

SI

И. Бр. 126643

УЧЕНОСКИ И ТЕХНИЧКИ
ТЕРМОДИНАМИЧКИ ПРОЦЕСИ
СЛОВОМ

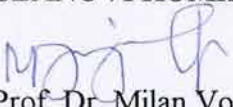


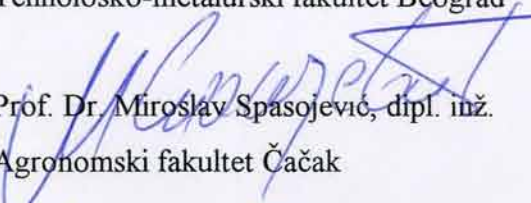
однос 2005. датум

MENTOR


Prof. Dr. Nedeljko Krstajić, dipl. inž.
Tehnološko-metaluški fakultet Beograd

ČLANOVI KOMISIJE.


Prof. Dr. Milan Vojnović, dipl. inž.
Tehnološko-metaluški fakultet Beograd


Prof. Dr. Miroslav Spasojević, dipl. inž.
Agronomski fakultet Čačak


Prof. Dr. Ljiljana Vračar, dipl. inž.
Tehnološko-metaluški fakultet Beograd



Štýlovo vzhľadom k tomu, že sú využívané na vodnéj výrobke,
voda je vždy čistá a čistota je
čo je vždy potrebné. Výrobky sú
vysokokvalitné a sú vyrábané z vysokokvalitných materiálov.
Výrobky sú vždy vysokokvalitné a sú vyrábané z vysokokvalitných materiálov.

Rakili, Nataši, Ani, Zagi i Pavlu

KINETIKA ELEKTRONIH LUPA REDUKCIJE GLAVICE

U doktorskoj disertaciji se predstavlja novi model i metoda za merenje kinetike elektroredukcije glavice u reducirajućim i oksidativnim medijima.

U dokumentu je predstavljeno da je učinkovit i precizan novi model i metoda za merenje kinetike elektroredukcije glavice u reducirajućim i oksidativnim medijima.

Zahvaljujem se Prof. N. Krstajiću na velikoj pomoći

tokom svih faza izrade disertacije,

Prof. D. Poletiju i Z. Saravolcu

Na prelasku iz teorije u praktiku, na pomoći tokom eksperimentalnih merenja, kao i

kolegama iz ITN SANU, TMF-a, CEH IHTM-a na kolegialnoj pomoći.

U predstavljenom modelu i metodi je učinkovito i precizno merenje kinetike elektroredukcije glavice u reducirajućim i oksidativnim medijima. Učinkovitost i preciznost modela je dobro potvrđena učinkovitim rezultatima merenja kinetike elektroredukcije glavice u reducirajućim i oksidativnim medijima. Model je učinkovit i precizan i omogućava merenje kinetike elektroredukcije glavice u reducirajućim i oksidativnim medijima.

U predstavljenom modelu i metodi je učinkovito i precizno merenje kinetike elektroredukcije glavice u reducirajućim i oksidativnim medijima. Model je učinkovit i precizan i omogućava merenje kinetike elektroredukcije glavice u reducirajućim i oksidativnim medijima.

U predstavljenom modelu i metodi je učinkovito i precizno merenje kinetike elektroredukcije glavice u reducirajućim i oksidativnim medijima. Model je učinkovit i precizan i omogućava merenje kinetike elektroredukcije glavice u reducirajućim i oksidativnim medijima. Model je učinkovit i precizan i omogućava merenje kinetike elektroredukcije glavice u reducirajućim i oksidativnim medijima.

U predstavljenom modelu i metodi je učinkovito i precizno merenje kinetike elektroredukcije glavice u reducirajućim i oksidativnim medijima. Model je učinkovit i precizan i omogućava merenje kinetike elektroredukcije glavice u reducirajućim i oksidativnim medijima.

KINETIKA ELEKTROHEMIJSKE REAKCIJE REDUKCIJE GLUKOZE

IZVOD

U doktorskoj disertaciji je proučavana kinetika i mehanizmi paralelnih reakcija izdvajanja vodonika i redukcije glukoze na elektrodi od amalgamisanog cinka u neutralnim i slaboalkalnim rastvorima Na_2SO_4 , pri različitim koncentracijama glukoze.

Na osnovu eksperimentalnih i simuliranih podataka mogu se izvesti sledeći zaključci o kinetici reakcija izdvajanja vodonika i elektrohemiske redukcije glukoze:

U prisustvu i odsustvu glukoze u rastvoru, reakcija izdvajanja vodonika se odigrava preko dva paralelna mehanizma. Prema prvom mehanizmu, reakcija se odigrava preko tri konsekutivna elementarna stupnja a heterogeni hemijski stupanj kontroliše ukupnu brzinu reakcije. Navedeni mehanizam je dominantan u oblasti potencijala od potencijala otvorenog kola pa do potencijala gde se javlja granična struja. Aktivna mesta za reakciju izdvajanja vodonika u predloženom mehanizmu su površinski oksidi metala. Granična struja je heterogena reakcionala granična struja.

Na negativnijim potencijalima reakcija izdvajanja vodonika se dominantno odigrava na metalnoj površini preko Folmer-Heirovski reakcionog puta u kome Folmerov stupanj kontroliše ukupnu brzinu reakcije, pri veoma malim stepenima pokrivenosti sa H_{ads} reakcionim intermedijerom.

Elektrokatalitička hidrogenacija glukoze se odigrava u oblasti potencijala gde se jednovremeno odigrava reakcija izdvajanja vodonika dominantno prema prvom predloženom mehanizmu. Heterogeni hemijski stupanj u mehanizmu izdvajanja vodonika je u kompeticiji sa elementarnim stupnjem hemijske katalitičke hidrogenacije glukoze u kome se odigrava reakcija između adsorbovanog vodonika i adsorbovanih molekula glukoze na površini katalizatora.

Predložen je kinetički model koji dobro fituje krive polarizacije i spekture impedancije. Model sadrži jednačine za brzinu svih elementarnih stupnjeva sa odgovarajućim vrednostima konstanti brzina, kao i Lengmireove adsorpcione izoterme za vodonik i glukozu.

Kinetički model izuzetno dobro fituje eksperimentalno odredene vrednosti za brzinu dobijanja sorbitola u zavisnosti od koncentracije glukoze, gustine struje i temperature i u tom smislu predstavlja značajno poboljšanje postojećih poluempirijskih jednačina za brzinu koje nisu mogle uzeti u obzir uticaj sporednih reakcija na iskorišćenje struje.

Ograničenja koja imaju empirijski pristup su prevaziđena u predloženom kinetičkom modelu uključivanjem odvojenih izraza za brzine reakcije elektrohemijske redukcije glukoze i izdvajanja vodonika.

U radu su takođe napravljena značajna poboljšanja postojećih karakteristika elektrokatalizatora, što otvara realnu mogućnost primene amalgamisanog cinka kao elektrodnog materijala za industrijsku proizvodnju sorbitola elektrokatalitičkom hidrogenacijom D-glukoze.



Ključne reči. Reakcija izdvajanja vodonika, Elektrolitička hidrogenacija, Reakcija redukcije glukoze, Mehanizam, AC Impedancija

KINETICS OF THE ELECTROLYTIC HYDROGENATION OF GLUCOSE

ABSTRACT

In this PhD Thesis, the kinetics and mechanism of the hydrogen evolution reaction and glucose reduction to sorbitol were studied on amalgamated zinc electrode in neutral and slightly alkaline solutions of Na_2SO_4 with various concentration of glucose.

On the base of all the experimental and calculated data the following information concerning the kinetics of hydrogen evolution and glucose reduction can be summarized.

- In both the presence and absence of glucose, hydrogen evolution reaction proceeds via two parallel mechanisms. The first mechanism is considered to be the consecutive combination of the three steps with the heterogeneous chemical step as the rate controlling one. This mechanism is dominant in the potential range from the open circuit potential (OCP) up to the potentials where limiting current appears. The active sites for hydrogen evolution reaction in the proposed mechanism are surface oxides. The limiting current is a heterogeneous reaction limiting current.
- At very high negative potentials the hydrogen evolution takes place dominantly on a metallic surface through the Volmer-Heyrovsky route with the Volmer step being rate controlling one and at a very low surface coverage with H_{ads} .
- Electrocatalytic hydrogenation of glucose takes place in the potential range where the first mechanism for hydrogen evolution is operable the heterogeneous chemical step for the hydrogen evolution occurs in conjunction with the chemical catalytic hydrogenation of glucose.
- A kinetic model for the prediction of polarization curves and impedance spectra was formulated. The model contains rate equations for the individual

reaction steps, a Langmuir adsorption isotherms for hydrogen and glucose. Theoretical current density – potential predictions were in excellent agreement with the data obtained from polarization experiments.

- The kinetic model accurately predicted experimental sorbitol production rates , in this regard, in a significant improvement over semiempirical rate equations which cannot account for current efficiency losses by an unwanted side reaction.
- The limitation of the empirical approach was overcome in the present theory by including separate rate expressions for glucose reduction and hydrogen evolution reaction.
- The significant improvement of electrocatalyst design was made, which makes possibility of its application in the industrial production of sorbitol by electrolytic hydrogenation of D-glucose.

Key words: Hydrogen evolution reaction, Electrolytic hydrogenation, Glucose reduction, Mechanism, ac Impedance

Lista korišćenih simbola

- a - konstanta u Tafelovoj jednačini
- α - koeficijent prenosa nanelektrisanja
- A - metalna površina amalgama
- b - Tafelov nagib, V dek⁻¹
- β - faktor simetrije
- C - koncentracija, mol dm⁻³
- C_G - koncentracija glukoze u rastvoru
- ECH - elektrokatalitička hidrogenacija
- ΔG_C^\ominus - hemijski deo standardne promene Gibsove energije aktivacije, kJ mol⁻¹
- ΔG^\ominus - standardna elektrohemijska promena Gibsove energije aktivacije, kJ mol⁻¹
- ΔG_{ads}^\ominus - standardna promena Gibsove energije adsorpcije, kJ mol⁻¹
- ΔH_{ads}^\ominus - standardna promena entalpije adsorpcije, kJ mol⁻¹
- h - Plankova konstanta, $6.62 \cdot 10^{-34}$ J s
- η - prenapetost, V
- θ_0 - stepen pokrivenosti sa ZnOH₂ intermedijerom
- θ_H - stepen pokrivenosti adsorbovanim vodonikom na aktivnim centrima A-OH i ZnOH
- θ_H^* - stepen pokrivenosti adsorbovanim vodonikom na metalnoj površini (A ili Zn)
- θ_G - stepen pokrivenosti glukoze na metalnoj površini (A)
- θ_d - ugao difrakcije rendgenskog zraka

- j - gustina struje, A cm^{-2}
 j_0 - gustina struje izmene, A cm^{-2}
- k_{11} - konstanta brzine elektrohemiske reakcije i povratne elektrohemiske hemijske reakcije
 k_1 i k_i - konstanta brzine hemijske reakcije i povratne hemijske reakcije
 k - Bolcmanova konstanata, $1.381 \cdot 10^{-23} \text{ J K}^{-1} \text{ mol}^{-1}$
 R - univerzalna gasna konstanta, $8.315 \text{ J K}^{-1} \text{ mol}^{-1}$
 RRG - reakcija redukcije glukoze
 $RERG$ - reakcija elektrohemiske redukcije glukoze
 RIV - reakcija izdvajanja vodonika
 T - temperaturna, $^{\circ}\text{K}$
 t - temperaturna, $^{\circ}\text{C}$
 β - koeficijent prelaza
 $\Delta\phi$ - apsolutna razlika potencijala na granici metal/rastvor, V
 ϕ_M - izlazni rad elektrona, eV
 v - brzina katalitičke reakcije, $\text{mol dm}^{-3} \text{ s}^{-1}$
 ω - frekvencija modulacije potencijala, Hz
 Z - impedancija, Ω
 Z' - realni deo impedancije, Ω
 Z'' - imaginarni deo impedancije, Ω
 $|Z|$ - moduo impedancije, Ω
 p - pritisak, Pa
 V - zapremina, m^3
 n - količina izdvojenog H_2 , mol
 η_i - iskorišćenje struje
 I - jačina struje, A
 τ - vreme, s
 z - broj razmenjenih elektrona u reakciji
 F - Faradejeva konstanta 96485 C mol^{-1}

SADRŽAJ

1. UVOD

2. TEORIJSKI DEO 7

2.1. Ugljeni hidrati	7
2.1.1. Struktura i opšte osobine monosaharida	7
2.1.2. Ciklični oblici monosaharida i mutarotacija	8
2.1.3. Kinetika reakcije mutarotacije glukoze	11
2.1.4. Konformacija monosaharida	14
2.1.5. Kinetika reakcije izomerizacije glukoze	16
2.1.6. Reaktivnost monosaharida	21
2.1.7. Uticaj kiselina na monosaharide	23
2.1.8. Dejstvo alkalija na monosaharide	24
2.1.9. Reakcije oksidacije monosaharida	24
2.1.10. Reakcije redukcije monosaharida	27
2.1.11. Sorbitol(D-sorbit)	29
2.1.12. Manitol (D-manit)	30
2.2. Klasifikacija organskih elektrohemijskih reakcija.	31
2.2.1. Kinetički faktori u organskim elektrohemijskim reakcijama	34
2.2.2. Zavisnost brzine organske elektrohemijiske reakcije od elektrodnog materijala	35
2.2.3. Zavisnost iskorišćenja struje od uslova elektrolize	37
2.2.4. Faktori adsorpcije organskih molekula	38
2.2.5. Red reakcije i adsorpcija u kinetici organskih elektrohemijskih reakcija	40

2.2.6. Kinetika katodnog procesa sa učešćem organskih supstanci .. .	42
2.3. Reakcije redukcije karbonilne grupe .. .	43
2.3.1. Reakcioni put uz prisustvo katalizatora	43
2.3.2. Reakcioni put uz koroziju metala	43
2.3.3. Reakcioni put uz stvaranje Grinjarovih jedinjenja	44
2.3.4. Reakcioni put po Wolff-Kishneru	44
2.3.5. Reakcioni put sa hidridima	45
2.3.6. Reakcioni put reakcije demerkurovanja alkilživinih derivata	45
2.4. Redukcija glukoze	46
2.4.1. Hemijska redukcija D-glukoze	46
2.4.2. Reakcija hidrogenovanja glukoze uz pomoć enzima	47
2.4.3. Elektrohemiska redukcija glukoze	48
2.4.3.1. Katodni materijali	52
2.4.3.2. Anodni materijali	56
2.4.3.3. Rastvarači	57
2.4.3.4. Osnovni elektroliti	57
2.4.3.5. Potencijal elektrode i gustina struje	58
2.4.3.6. Temperatura	58
2.4.3.7. Katalizatori	59
2.4.3.8. Mehanizam reakcije elektrohemiske hidrogenacije	60
3. EKSPERIMENTALNI DEO	62
3.1. Čelija za elektrohemiska merenja	62
3.2. Rastvori	64
3.3. Priprema radne elektrode	64

3.4. Priprema eksperimenta	65
3.5. Iskorišćenje struje	65
3.6. Metoda tečne hromatografije	65
3.7. Elektrohemijske metode merenja	66
3.7.1. <i>Stacionarna voltametrija</i>	67
3.7.2. <i>Spektroskopija elektrohemijske impedancije</i>	67
3.8. Primena difrakcije X-zraka u ispitivanju sastava heterogenih katalizatora	68
 4. REZULTATI I DISKUSIJA	69
4.1 Kinetika reakcije izdvajanja vodonika na Zn i Hg - Zn elektrodama	70
4.1.1. <i>Kinetika RIV na Zn elektrodi</i>	71
4.1.1.1 <i>Polarizaciona merenja</i>	71
4.1.1.2. <i>Teorijska razmatranja brzina elementarnih stupnjeva u zavisnosti od prenapetosti</i>	76
4.1.1.3. <i>Teorijska razmatranja stepena pokrivenosti adsorbovanim intermdijerima u zavisnosti od prenapetosti</i>	78
4.1.1.4. <i>Spektri impedancije za RIV na Zn</i>	80
4.1.2. <i>Kinetika RIV na Zn(Hg) elektrodi</i>	90
4.1.2.1 <i>Fazni dijagram Zn-Hg legure</i>	90
4.1.2.2. <i>Polarizaciona merenja</i>	91
4.1.2.3. <i>Spektri impedancije za RIV na Zn(Hg) elektrodi</i>	93

4.2. Kinetika RERG na Zn(Hg) elektrodi	100
4.2.1. Polarizaciona merenja	100
4.2.2. Iskorišćenje struje za RERG na Zn(Hg) elektrodi	102
4.2.3. Ispitivanja produkata RERG tečnom hromatografijom	107
4.2.4. Spektri impedancije za RERG na Zn(Hg) elektrodi	110
4.2.5. Mehanizam RERG na Zn(Hg) elektrodi	112
4.2.6. Teorijska razmatranja brzine elementarnih stupnjeva u zavisnosti od potencijala	114
4.3. Uredaj za elektrohemiju redukciju glukoze	127
5. ZAKLJUČAK	129
6. LITERATURA	131

1. UVOD

Reakcija hidrogenacije je jedna od najznačajnijih reakcija redukcije organskih jedinjenja. Najviše je izučavana u gasnoj fazi, a znatno manje u tečnoj fazi. Reakcija hidrogenacije u tečnoj fazi se može odvijati kao: *i)* katalitička hidrogenacija *ii)* direktna elektroredukcija i *iii)* elektrokatalitička hidrogenacija.

Katalitička hidrogenacija se obično odigrava na katalizatorima sa velikom površinom (Reni-nikal ili plemeniti metali) pri pritisku od 1 do 350 atm i na različitim temperaturama (od sobne do 400°C). U toku tog procesa molekulski vodonik se disocijativno adsorbuje na površini katalizatora i potom redukuje adsorbovano organsko jedinjenje.

U reakciji elektrohemijske hidrogenacije organskih jedinjenja koja se odvija na atmosferskom pritisku i temperaturi, adsorbovani vodonik se stvara na površini katalizatora razelektrisanjem vodoničnog jona ili molekula vode. Tako nastali adsorbovani vodonik reaguje sa organskim molekulom (adsorbovanim ili iz rastvora) dajući proizvode hidrogenacije.

Postupkom direktnе elektrohemиjske redukcije (elektronacija – protonacija) na elektrodi dolazi do direktnog prelaza elektrona sa elektrode na reaktant. Ova reakcija se odigrava na metalima i legurama koje karakteriše visoka prenapetost za reakciju izdvajanja vodonika i niska površinska pokrivenost adsorbovanim vodonikom. Organsko jedinjenje reaguje sa elektronom sa elektrodne površine a potom sa protonom iz rastvora (nema adsorpcije i hemisorpcije). Ovaj tip reakcije (obično su reakcije u organskim rastvaračima) omogućava da se funkcionalne grupe siromašne elektronima (elektrofilne grupe) u reakciji sa elektronom transformišu u grupe sa viškom negativnog nanelektrisanja (nukleofilne grupe) ili da se nukleofilne grupe transformišu u elektrofilne grupe uklanjanjem elektrona. U oba

slučaja moguće su reakcije polimerizacije (produženja lanca) ili reakcije ciklizacije (zatvaranja lanca).

Elektrokatalitička hidrogenacija ima nekoliko prednosti u odnosu na katalitičku hidrogenaciju. Prvo, disocijativna adsorpcija vodonika na katalizatoru se odigrava na sobnoj temperaturi i atmosferskom pritisku i prevaziđeni su problemi vezani za fenomene transporta slabo rastvornog molekula vodonika ka katalizatoru. Uz to, adsorbovan vodonik se može kontrolisati pomoću potencijala (gustine struje). Drugo, katodni potencijal na kome se odigrava elektrokatalitička hidrogenacija, u nekim slučajevima, umanjuje ili sprečava adsorpciju otrova. Glavni nedostatak reakcije elektrohemiske hidrogenacije u poređenju sa hemijskom hidrogenacijom je razdvajanje reakcionih produkata od pomoćnog elektrolita.

Elektrohemiskim putem, uz mnogo blaže reakcione uslove, moguće je industrijski sintetizovati dimer etil akrilat i dietil manolat, glukonsku kiselinu iz glukoze (proizvodač - "Sandoz"), kalcijumlaktobionat iz lakteze ("Sandoz"), aceton iz butanona ("BASF"), pinakol iz acetona ("BASF") propilen oksid iz propilena ("Shell"), etilenglikol iz formaledhida ("Electrossintesys Co."), sorbitol iz glukoze ("Hercules") itd.

U ovoj disertaciji je ispitivana reakcija elektrokatalitičke redukcije glukoze (RERG) do šećernih alkohola – poliola (sorbitola i manitola). Da bi se ispitala kinetika elektroredukcije glukoze neophodno je upoznati se najpre sa kinetikom hemijskih reakcija u sistemu voda-glukoza pošto katodnoj redukciji glukoze predodi brza homogena hemijska reakcija mutarotacije i znatno sporija homogena hemijska reakcija enolizacije i izomerizacije koje su zavisne od temperature i pH. Izučavanje kinetike elektroredukcije glukoze zahteva i izučavanje paralelne reakcije izdvajanja vodonika.

Da bi se definisao mehanizam RERG u radu je prvo ispitana reakcija izdvajanja vodonika (RIV) koja se paralelno odigrava sa RERG. Predložen je mehanizam RIV na cinku i amalgamu cinka koji se sastoji od tri konsekutivna stupnja, a potom pri istim reakcionim uslovima uz dodatak glukoze i mehanizam RERG To su zapravo paralelne reakcije sa zajedničkim prvim elementarnim stupnjem elektrohemiske adsorpcije vodonika. Odredeni su kinetički parametri za reakciju RIV i RERG na osnovu kojih je potvrđen pretpostavljeni mehanizam.

Na osnovu dobijenih rezultata izrađen je uredaj za proizvodnju sorbitola elektrohemiskom redukcijom glukoze.

2. TEORIJSKI DEO

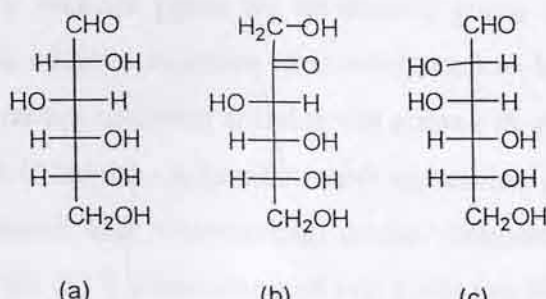
2.1. Ugljeni hidrati

Ugljeni hidrati predstavljaju veoma rasprostranjenu grupu prirodnih proizvoda koji zauzimaju značajno mesto u životnim ciklusima. Oni čine oko 80% mase suve supstance biljaka i oko 2% kod životinja. Najčešće se sreću u biljnem svetu kao energetske rezerve (na primer kao skrob) ili su gradivne materije kao celuloza [1.2].

Osnovna empirijska formula ugljenih hidrata je $C_nH_{2n}O_n$ ili $(C_n(H_2O)_n)$ iz koje se vidi da je broj atoma ugljenika isti kao i broj atoma kiseonika što navodi na zaključak da je za svaki ugljenikov atom vezan po jedan atom kiseonika.

2.1.1. Struktura i opšte osobine monosaharida

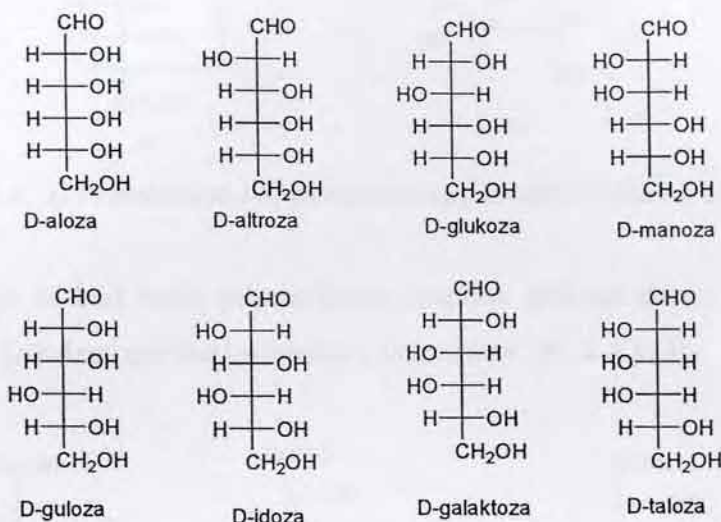
Monosaharidi se mogu definisati kao ugljeni hidrati koji se pod dejstvom razblaženih mineralnih kiselina ne mogu više hidrolizovati. Monosaharidi se prema karakteru karbonilne grupe dele na aldoze (poseduju aldehidnu grupu) i ketoze (poseduju keto grupu). Monosaharidi mogu da sadrže više alkoholnih grupa, najčešće do šest (Sl.2.1 i Sl.2.2), dok su sa više veoma retki. Aldoze i ketoze mogu da sadrže više asimetričnih C atoma, pa samim tim grade veći broj stereoizomera (na primer kada je ukupan broj C atoma jednak šest, broj stereoizomera aldoza je 16, a ketoza 8). S obzirom da imaju istu hemijsku i različitu strukturu formulu uobičajeno je da se monosaharidi prikazuju projekcionim formulama (Sl. 2.1) [3].



Slika 2.1 Projekcione formule. a) D-glykoza, b) D-fruktoza, c) D-manoza



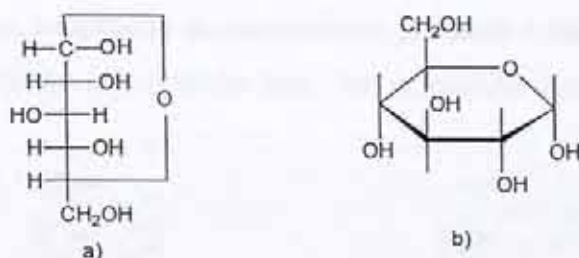
Na slici 2.2. date su sve aldoheksoze sa njihovim trivijalnim imenima.



Slika 2.2. Projekcione formule heksoza

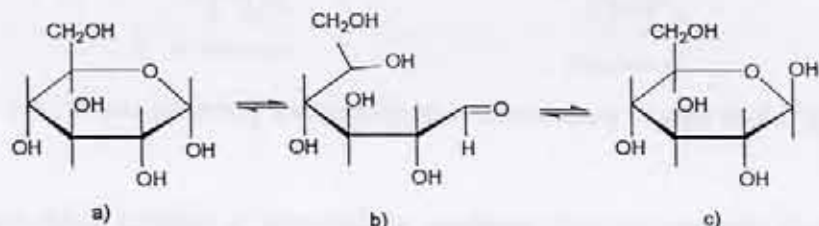
2.1.2. Ciklični oblici monosaharida i mutarotacija

Zapaženo je da se jedna OH grupa monosaharida glukoze specifično ponaša. Izostajanje reakcija monosaharida sa natnijumbisulfitom i fuksin-sumporastom kiselinom nije bilo u saglasnosti sa shvatanjem da su lanci molekula monosaharida otvorenog tipa [4]. Ukoliko se na glukozu deluje metanolom (3% rastvor HCl u metanolu) dolazi do uspostavljanja jedne metoksi grupe dok se ostale ponašaju kao slobodne grupe [5]. Ovaj reakcioni proizvod glukoze sa metoksi grupom nije pokazivao nikakva svojstva aldehida, a ovo ponašanje je posledica intramolekulske reakcije (reakcija alkoholnih grupa sa karbonilnom grupom na istom molekulu šećera), odnosno uspostavljanja ciklične strukture glukoze. Intramolekulska reakcija jedne od alkoholnih grupa sa karbonilnom grupom dovodi do uspostavljanja ciklične strukture sa kiseonikom kao hetero-atomom, pri čemu istovremeno nastaje i izuzetno reaktivna acetalna OH grupa (ili glikozidna OH grupa koja se nalazi na glikozidnom C atomu – ugljenikov atom karbonilne grupe koji stvara ciklične oblike šećera). Monosaharidi koji uspostavljaju ovakav šestočlanu heterociklični sistem dobili su naziv *piranoze* (Sl. 2.3.), a monosaharidi koji grade petočlanu heterociklični sistem nazivaju se *furanoze* [4].



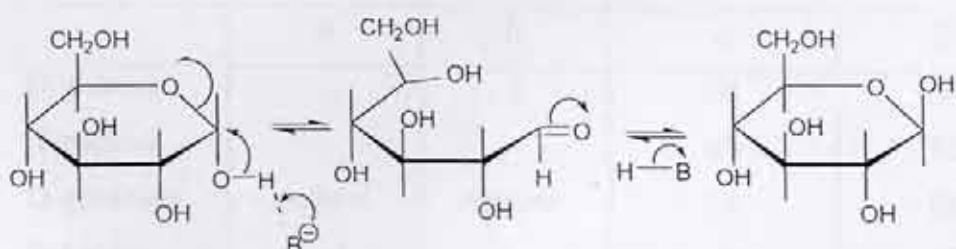
Slika 2.3. a) Projekciona i b) perspektivna formula D-gluko piranoze

Zapaženo je da kod sveže pripremljenog rastvora glukoze dolazi do brze promene ugla rotacije ravni polarizovane svetlosti usled *mutarotacije* (Sl. 2.4.) [5].



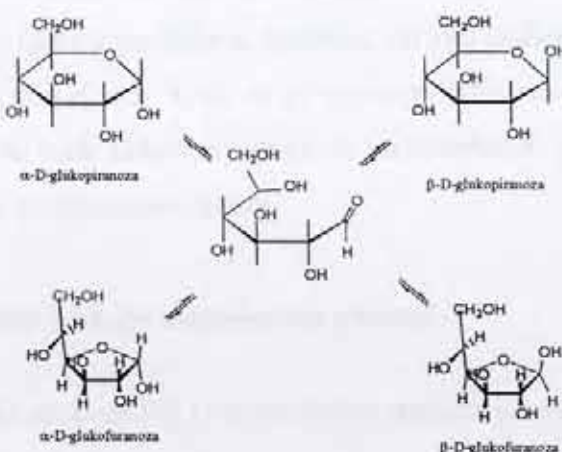
Slika 2.4. Ravnoteža α (a) i β (c) izomera glukoze preko okso oblika (b)

Posle nekoliko časova ugao rotacije postaje konstantan zbog uspostavljanja ravnoteže između α i β izomera glukoze nastalih u reakciji mutarotacije. Sveže pripremljen rastvor α glukoze, ima ugao skretanja 112^0 koji postepeno opada sve do vrednosti $52,5^0$, što predstavlja ugao skretanja u ravnotežnom stanju. Uspostavljanje ravnoteže se u običnim vodenim rastvorima ostvaruje za nekoliko časova, a ovaj proces se ubrzava dodatkom kiselina ili baza [6,7] (Sl. 2.5.).



Slika 2.5. Uspostavljanje ravnoteže α i β glukoze u prisustvu katalizatora

U ovom slučaju neophodno je istovremeno prisustvo i kiseline i baze, jer njihova smeša energičnije katalizuje ovu reakciju nego što se postiže samom kiselinom ili samom bazom.



Slika 2.6. Shema složenog uspostavljanja ravnotežnog stanja kod D-glukoze

Pojedini oblici izomera u ravnotežnim smešama nisu ravnomerno zastupljeni. Za D-glukozu i čitav niz drugih monosaharida (Tabela 2.1) je utvrđeno da se u ravnotežnoj smeši kao glavne komponente nalaze α i β piranozni oblici, a u nekim slučajevima D-glukoza i ostali monosaharidi se pojavljaju u furanoznum oblicima kao što je prikazano na slici 2.6. Utvrđeno je da preovlađuje onaj oblik kod koga je konfiguracija na anomernom C atomu suprotna od one na susednom C atomu [8].

Tabela 2.1 Sadržaj α i β izomera nekih monosaharida

Monosaharid	Sadržaj u mas. %			
	furanoza		piranoza	
	α	β	α	β
D-glukoza	-	-	34	66
D-manoza	-	-	68	32
D-galaktoza	tragovi	tragovi	31	69
D-ksiloza	-	-	35	65
D-arabinosa	3	3	58	42
D-liksoza	-	-	75	25

Monosaharidi ne pokazuju sve osobine kao karbonilna jedinjenja. Usled male koncentracije glukoze sa otvorenim nizom u vodenom rastvoru monosaharidi ne podležu onim reakcijama aldehida i ketona koje su izrazito reversne (npr. reakcija sa NaHSO₃). Međutim, ostale reakcije (stvaranje oksima, ozazona, itd.) su posledica prisustva i tih malih količina oblika sa otvorenim nizom. Kako se pri uspostavljanju ravnotežnog stanja glukoza sa otvorenim nizom brzo troši nakon stvaranja to monosaharidi proreaguju kao da su se sastojali samo od oblika sa otvorenim nizom.

2.1.3. Kinetika reakcije mutarotacije glukoze

Mutarotacija α-D-glukoze [9], je reverzibilna reakcija prvog reda.



Brzina promene α-oblika u β-oblik data je jednačinom (2.2):

$$-\frac{d\alpha}{dt} = k_\alpha C_\alpha - k_\beta C_\beta \quad (2.2)$$

gde su k_α i k_β odgovarajuće konstante brzina reakcije, a C_α i C_β koncentracije α i β oblika.

Integralni oblik zakona brzine ove reakcije, s obzirom da na početku nema β oblika je:

$$(k_\alpha + k_\beta) t = \ln \frac{k_\alpha C_\alpha^0 + x(k_\alpha + k_\beta)k_\beta}{k_\alpha C_\alpha^0} \quad (2.3)$$

gde je C_α^0 - početna koncentracija α oblika a x reakcionala promenljiva. Kada $t \rightarrow \infty$:

$$x = x^e = \frac{k_\alpha C_\alpha^0}{k_\alpha + k_\beta} \text{ pa se integralni oblik može predstaviti jednačinom}$$

$$\ln \frac{x^e}{x^e - x} = (k_\alpha + k_\beta)t \quad (2.4)$$

Jednačina pokazuje da sistem teži ravnoteži prema zakonu brzine prvog reda.

Ako se promena koncentracije učesnika ove reakcije prati merenjem ugla rotacije to jednačina (2.4) dobija oblik:

$$(k_\alpha + k_\beta) t = \ln \frac{r_0 - r_\infty}{r_t - r_\infty} \quad (2.5)$$



gde je r_0 – ugao rotacije za $t=0$, r_∞ – ugao rotacije posle beskonačnog vremena i r_t – ugao rotacije u toku vremena t . Ugao rotacije može biti predstavljen kao izmerena veličina ili kao izračunata specifična veličina. Specifični ugao rotacije je:

$$\text{Specifična rotacija} = r_m = \frac{r}{lc} \quad (2.6)$$

gde je r – izmerena vrednost ugla (u stepenima), l – dužina polarimetarske cevi u kojoj se nalazi rastvor (u decimetrima), c – koncentracija aktivne supstance. Za merenje ugla rotacije uobičajeno je da se koristi natrijumova D linija. Kao rastvarači koriste se voda i hloroform. Prema podacima iz literature [9] reakcija mutarotacije je prvog reda za sve ove šećere. Vrednost zbiru $k_\alpha + k_\beta$ je identična za alfa i beta anomer kod svih šećera (Tabela 2.2) a energija aktivacije je u proseku 71 J mol^{-1} . Mutarotacija jednog broja šećera (pentoza, reboza) nije reakcija prvog reda.

Tabela 2.2. Konstanta brzine mutarotacije i aktivaciona energija nekih šećera

šećer	$k_\alpha + k_\beta (20^\circ\text{C})/\text{s}^{-1}$	$E_a (\text{J/mol})$	Sastav ravnoteznog rastvora, % Polarimetrijski Iz stepena oksidacije
α -D-glukoza	0.00632	71.96	α -36.2 37.4
β -D-glukoza	0.00625	71.96	β -63.8 62.6
α -D-manoza	0.0173	69.87	α -68.8 68.9
β -D-manoza	0.0178	71.55	β -31.32 31.1
α -D-liksoza	0.0568	64.0	α -76.0 79.7
β -D-liksoza	0.0591	65.69	β -24.0 20.3

Vizner (Wiesner)[10] i saradnici su pokazali da se mutarotacija D-glukoze odigrava preko aldehidnog oblika i da je moguće polarografskom metodom odrediti sve četiri konstante brzine ove reakcije kao i ravnotežnu koncentraciju slobodnog aldehidnog oblika γ , koji se jedino može elektrohemijski redukovati.



Konstante brzine kako je pokazano linearne zavisne od koncentracije fosfatnog pufera (u kome su vršena merenja) a nezavisne su od jonske jačine rastvora. Određene vrednosti konstanti brzine za pH=7 su iznosile:

$$k'_\alpha = 5.8 \cdot 10^{-3} \text{ s}^{-1} \quad k''_\alpha = 69 \text{ s}^{-1}$$

$$k'_\beta = 1.77 \cdot 10^{-3} \text{ s}^{-1} \quad k''_\beta = 37 \text{ s}^{-1}$$

Ravnotežna koncentracija γ -oblika D-glukoze izračunata iz odgovarajućih konstanti brzine, bila je $0.0026 \pm 0.0002\%$ od ukupne koncentracije D-glukoze ($0.655 \text{ mol dm}^{-3}$). Pored promene brzine reakcije mutarotacije zbog promene pH, moguće je katalizovanje ove reakcije i od strane molekula vode. U tom slučaju konstanta brzine mutarotacije može se izraziti sledećom jednačinom [11].

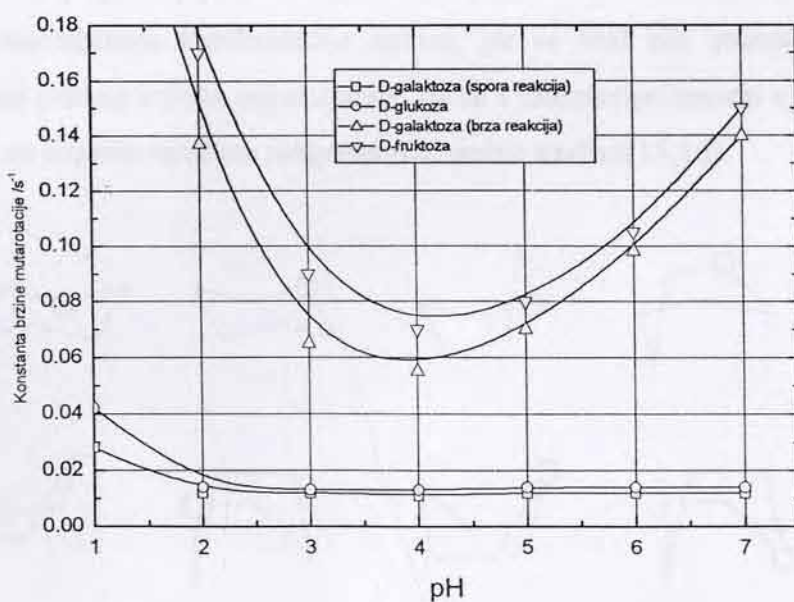
$$(k_\alpha + k_\beta) = A^* + B^*C(H_3O^+) + C^*C(OH^-) \quad (2.8)$$

gde su A^* , B^* i C^* konstante

Za glukozu na 20°C važi jednačina

$$(k_\alpha + k_\beta) = 0.0060 + 0.18C(H_3O^+) + 16.000C(OH^-) \quad (2.9)$$

Saglasno jednačini (2.9) mutarotacija glukoze je najsporija na pH=4.61. Kiselo bazni uticaj na mutarotaciju fruktoze i drugih šećera je mnogo više izražen nego kod glukoze, ali se minimalne vrednosti konstanti brzina mutarotacije fruktoze i glukoze dostižu pri bliskim pH vrednostima (Sl. 2.7). Iz vrednosti konstanti B^* i C^* se može zaključiti da hidroksilni ion ima znatno veći katalitički efekat od vodoničnog jona.



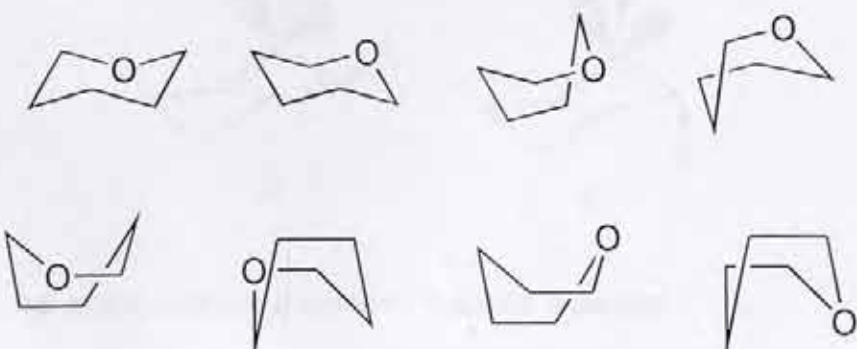
Slika 2.7 Uticaj pH na brzinu mutarotacije šećera

Sa Sl. 2.7 na kojoj je prikazana zavisnost konstante brzine mutarotacije D-glukoze od pH[12] se vidi da u slučaju glukoze i galaktoze (spora reakcija), u oblasti pH=2 do pH=7, postoji dug horizontalan deo i deo sa nagibom ispod pH=2. Konstante brzina mutarotacije za D-fruktoze i D-galaktoze (piranoza - furanoza interkonverzija), imaju minimum za pH=4[12].

Cantor[13] je polarografskim merenjima dobio vrednosti za granične struje (npr. za glukozu, galaktozu, ksilozu) koje pokazuju neuobičajeno izraženu zavisnost od temperature i pH rastvora, što je objasnio konceptom kinetičke kontrole. Ciklični poluacetalni oblici aldoza (nastaju intramolekulskom reakcijom) ne podležu redukciji, ali se nalaze u ravnoteži sa reduktibilnim γ -oblikom, preko veoma brze hemijske reakcije. Ukoliko je koncentracija cikličnog poluacetalnog oblika aldoze ista na elektrodi kao i u masi rastvora (što se odnosi i na γ -oblik), ne može se očekivati difuziona kontrola redukcije γ -oblika. Ravnoteža između piranoznih anomera (izomeri α -i- β -glukoze, koji se razlikuju samo po konfiguraciji na prvom C-atomu nazivaju se glikozidni ili anomerni C-atom) D-glukoze se uspostavlja za samo 4 sata[14].

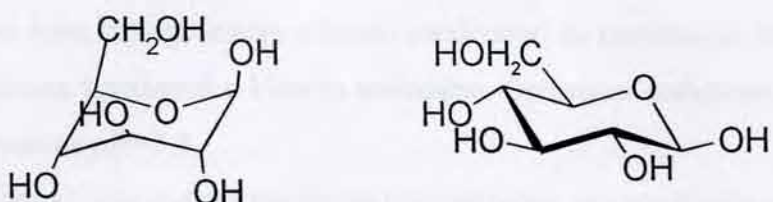
2.1.4. Konformacija monosaharida

Piranoze mogu da se pojave u dva osnovna konformaciona oblika stolice i šest oblika kade (Sl. 2.8) zahvaljujući prisustvu kiseonika u šestočlanom prstenu. Kod cikloheksana je najstabilnija konformacija stolice, jer se kod nje atomske grupe na pojedinim atomima prstena nalaze najudaljenije, pa su i interakcije između njih najmanje, što je i potvrđeno na osnovu rezultata rengenostrukturalne analize[15,16].



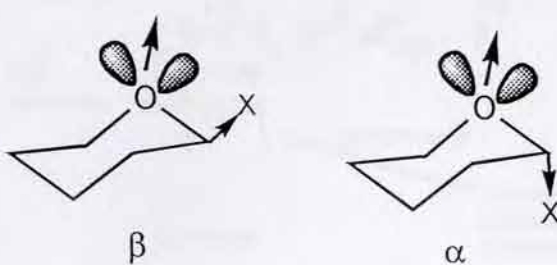
Slika 2.8. Konformacioni oblici piranoza

Kod oblika stolice su moguće razne konformacije (Sl. 2.9), pri čemu je najstabilnija ona kod koje se veći broj velikih grupa (OH grupe) nalazi u najudaljenijem ekvatorijalnom položaju. Usled toga je i β -glukoza kod koje se četiri OH-grupe nalaze u ekvatorijalnim položajima, nešto stabilnija od α -glukoze kod koje se svega tri OH-grupe nalaze u ovom položaju.



Slika 2.9. Konformacioni oblici stolice D-glukopiranoze

Najstabilnija konformacija stolice se postiže kada supstituent najveće zapremine (CH_2OH) zauzima ekvatorijalni položaj. Suprotno očekivanju, zapaženo je da u smeši α i β -metil-glukopiranozida preovlađuje α -oblik kod koga se metoksgrupa nalazi u aksijalnom položaju iako je u smeši α i β -metil-glukopiranoze dominantan β -oblik sa OH grupom u ekvatorijalnom položaju. Ovo se objašnjava međusobnim odbijanjem dipola na atomu kiseonika koji se nalazi u prstenu i dipola kiseonika na anomernom C atому (Sl. 2.10). Međusobno odbijanje dipola je jače za ekvatorijalni anomer, kad su dipoli paralelni, nego u slučaju aksijalnog anomera [17, 18].

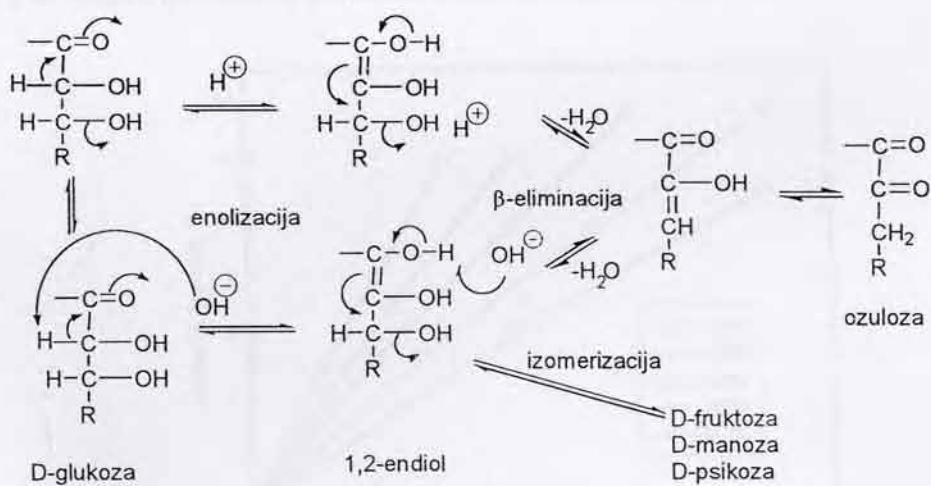


Slika 2.10. Manje stabilan β anomer i stabilniji α anomer

2.1.5. Kinetika reakcije izomerizacije glukoze

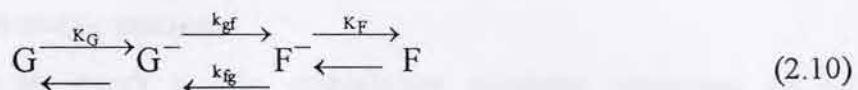
U blago kiselim ili blago alkalnim vodenim rastvorima šećeri imaju sklonost ka reakciji mutarotacije. U koncentrovanim rastvorima kiselina ili baza prisutna je reakcija enolizacije sa izomerizacijom koja može da se odigrava na α -C atomu šećera ili enolizacija sa dehidratacijom koja se odigrava na β -C atomu (β -eliminacija) (Sl. 2.11). Endiolni oblici monosaharida mogu da nastanu i u baznoj i u kiseloj sredini i veoma su reaktivni. Kiseline su, za razliku od baza, mnogo manje efikasni katalizatori za enolizaciju šećera tako da oni pokazuju maksimum stabilnosti u kiselim sredinama. Optimalna stabilnost D-glukoze je na pH=4 a D-fruktoze na pH=3.3

Transformacijom endiola reakcijom izomerizacije, se uspostavlja ravnoteža između epimersnih aldoza (glukoza) i ketoza (fruktoza, manoza, psikoza). Reakcija dehidratacije endiola (β -eliminacija) se može odigrati u kiseloj i baznoj sredini. U kiseloj sredini se odigrava brže i spor stupanj je reakcija enolizacije. U alkalnoj sredini situacija je obrnuta. Enolizacija je brza a β -eliminacija je spora. Dobijeni proizvod dehidratacije endiola (3-dezoksi – ozuloze) se može dalje transformisati na različite načine u kiseloj sredini, na primer, mogu se ozuloze dehidratisati i nagraditi furanski ciklični prsten (5-oksimetil-furfurol) koji se transformiše do levulonske kiseline [19-22].



Slika 2.11 Reakcija enolizacije i β -eliminacije monosaharida u kiseloj i baznoj sredini

Reakcioni put izomerizacije glukoze[23] ide preko stvaranja disosovanog molekula glukoze, dva enolna jona, disosovanog molekula fruktoze do stvaranja molekula fruktoze. Iz enolnih oblika mogu ići reakcije ka izomerima (fruktoza i manoza) ili ka degradaciji lanca. Dobra aproksimacija reakcije izomerizacije ka fruktozi se može predstaviti sledećom jednačinom.

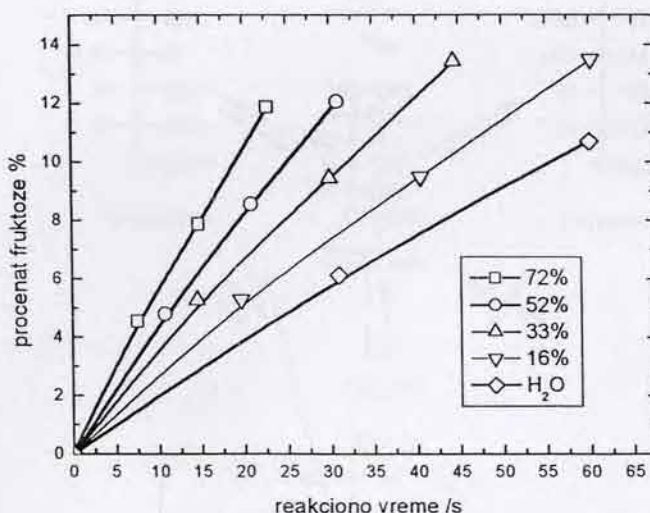


Kada je početna koncentracija fruktoze nula, konstanta brzine izomerizacije D-glukoze do D-fruktoze (k_{gf}) posle malog reakcionog vremena može biti izračunata iz sledeće jednačine:

$$\frac{dC_{F\text{tot}}}{dt} - k_{gf}C_{G^-} = k_{fg} \frac{K_G C_{OH^-}}{1 + K_G C_{OH^-}} C_{G\text{tot}} \quad (2.11)$$

gde je G, F –glukoza, fruktoza sa otvorenim lancem, G^- , F^- - anjon glukoze, fruktoze, K_G i K_F – konstanta jonizacije glukoze i fruktoze.

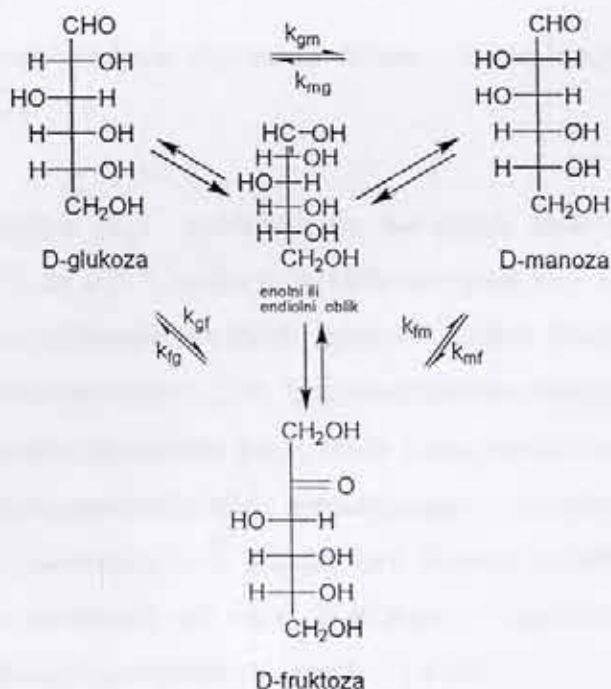
Dobijanje D-fruktoze reakcijom izomerizacije iz D-glukoze na 60°C u toku vremena (Sl. 2.12.) se znatno ubrzava sa porastom koncentracije etil alkohola u rastvoru.



Slika 2.12. Dobijanje D-fruktoze iz D-glukoze reakcijom izomerizacije u 0.1M NaOH na 60°C pri različitim koncentracijama etil alkohola

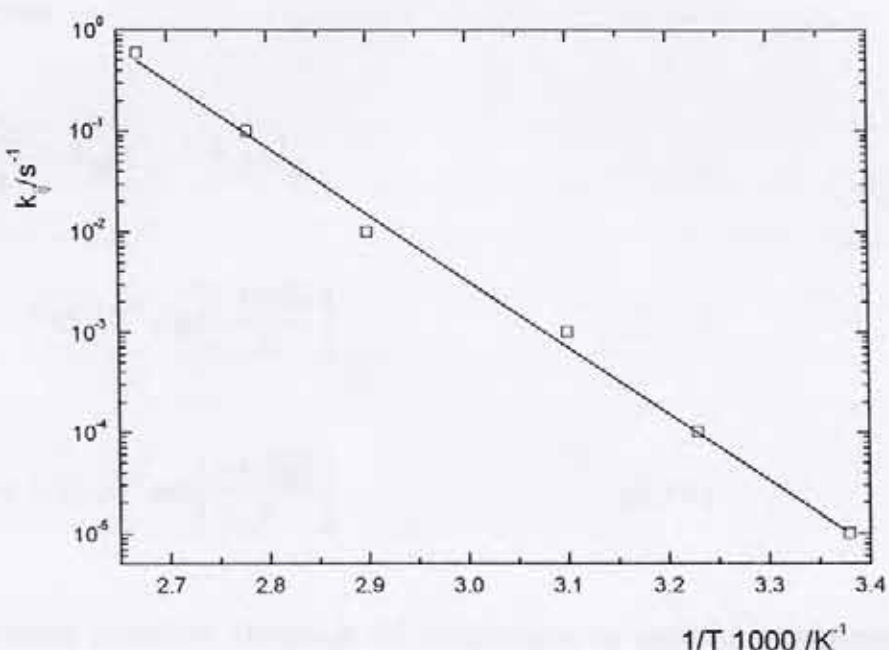
Uticaj vremena reakcije izomerizacije na dobijanje izomera fruktoze i manoze pokazuje primer iz literature [24]. Ukoliko se 50 mg D-glukoze tretira sa 2.5 mas. % H_2SO_4 i održava na temperaturi od $120^{\circ}C$ u toku reakcionog vremena od 1 h dobije se 4.7 μg manoze i 0.6 μg fruktoze. Posle reakcionog vremena od 10 h dobija se 43.8 μg manoze i 0.8 μg fruktoze. Koncentracija manoze se značajno menja dok je koncentracija fruktoze skoro konstantna u toku reakcionog vremena.

Izomerizacija se izvodi u vrlo razblaženim alkalnim rastvorima na sobnoj temperaturi. Prisustvo baza dovodi do izomerizacije na redukcionoj strani molekula pa čak i do degradacije molekula u molekule sa manjim brojem C atoma. Proizvod reakcije zavisi od vrste hidroksida kojim se deluje na glukozu. Ukoliko se glukoza tretira sa NaOH proizvod reakcije izomerizacije je praktično samo fruktoza. Ukoliko se pak glukoza tretira 24 sata na sobnoj temperaturi sa $Ca(OH)_2$ ili $Pb(OH)_2$ dobija se samo manoza. Ako se D-glukoza tretira sa zasićenim rastvorom krečne vode $Ca(OH)_2$ na $35^{\circ}C$ u roku od deset dana dobije se smeša sastava: 63.5 mas % D-glukoze, 31% mas fruktoze i 2.5 mas % manoze[25]. Veliki porast koncentracije fruktoze u ravnotežnoj smeši glukoza – fruktoza, nastaje u prisustvu kalijum ili natrijum aluminata kada koncentracija D-fruktoze može doseći i 70 mas %. Ako se D-glukoza ostavi da stoji nekoliko dana u slabo alkalnoj sredini (0.04% NaOH) daje smešu sastava: 30 mas % D-fruktoze, 1 mas % D-manoze, 66 mas % nepromenjene D-



Slika 2.13. Reakcije D-glukoze u slabo alkalnoj sredini

glukoze kao i 3 mas % nekih drugih proizvoda. Pod istim uslovima i D fruktoza i D manoza daju istu smešu, zbog istovremene izomerizacije i epimerizacije preko zajedničkog endiolnog oblika [26] (Sl. 2.13.). Sastav produkata izomerizacije zavisi od katjona baze (jednovalentnih ili dvovalentnih). Na nižim temperaturama njihov uticaj je znatan dok se na višim (preko 35 °C) gubi.



Slika 2.14. Zavisnost vrednosti konstante brzine izomerizacije od recipročne vrednosti temperature

Eksperimentalni rezultati [27] potvrđuju da homogena alkalna izomerizacija u opsegu temperatura od 20 °C do 104 °C može da se opiše modelom koji uzima u obzir uticaj OH⁻ jona. Na Sl. 2.14 su prikazane vrednosti konstante brzine izomerizacije, k_{ij} , kao funkcija recipročne vrednosti temperature [29]. Uspostavljanje ravnoteže između epimernih aldoza i ketoza, koja odgovara epimernom paru, zavisi i od uslova izvođenja reakcije. U prisustvu alkalija ravnoteža se uspostavlja brže i potpunije nego u prisustvu kiselina, a u oba slučaja nastajanje endiola predstavlja prvi stupanj ove složene transformacije. Kiseline slabije katalizuju reakciju enolizacije od baza. D-glukoza i D-fruktoza i drugi šećeri pokazuju maksimalnu stabilnost za vrednosti pH između 3 i 4 [28]

Kinetički model primjenjen za izračunavanje konstante brzine izomerizacije ne uzima u obzir različite konformacije molekula koje mogu da se javi kod šećera. Pretpostavljeno je da pri ovim eksperimentalnim uslovima konformacije α/β piranoze i α/β furanoze su u ravnoteži, tako da dobijene konstante potiču samo od reakcije izomerizacije. Na osnovu rezultata sa Sl. 2.14. je izračunata prividna energija aktivacije reakcije izomerizacije glukoze u fruktozu i nađeno je da iznosi 121 kJ mol^{-1}

Brzina reakcije izomerizacije glukoza-fruktoza može se prikazati sledećom jednačinom[30]:

$$\frac{dC_G}{dt} = k_{gf} C_f - k_{fg} C_g \quad (2.12.)$$

gde su

$$k_{gf} = 2.05 \cdot 10^{14} \exp\left[\frac{-13210}{T}\right] \quad (2.13)$$

$$k_{fg} = 5.02 \cdot 10^{15} \exp\left[\frac{-14230}{T}\right] \quad (2.14)$$

Zavisnost konstante ravnoteže od temperature za reakciju izomerizacije glukoza-fruktoza data je jednačinom:

$$K_e = \frac{C_f}{C_g} = 24.52 \exp\left[\frac{-1022}{T}\right] \quad (2.15)$$

Vrednosti konstanti ravnoteže za reakciju izomerizacije glukoza – fruktoza za različite vrednosti pH i temperature date su u tabeli 2.3 [31]

Tabela 2.3. Vrednosti konstanti ravnoteže reakcije izomerizacije glukoza-fruktoza

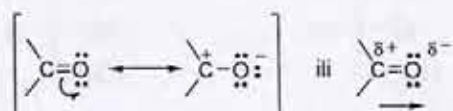
T/ $^{\circ}\text{C}$	pH	$C_0/\text{mol dm}^{-3}$	K_e	literatura
30	7.0	0.7	0.838	31
60	8.2	1.0	0.763	31

Reakciju izomerizacije mogu da katalizuju u većoj ili manjoj meri i enzimi [32].

2.1.6. Reaktivnost monosaharida

Monosaharidi su jedinjenja bogata funkcionalnim grupama. Na reaktivnost monosaharida utiču kako pojedine funkcionalne grupe, tako i njihov međusobni uticaj i njihov prostorni raspored. U prisustvu kiselina ili baza monosaharidi pokazuju veliku reaktivnost i pri tom može doći do promene na molekulu i promene veličine molekula. Da bi se sagledala ukupna reaktivnost monosaharida neophodno je da se razmotre reakcione mogućnosti pojedinih funkcionalnih grupa.

Ugljenik i kiseonik karbonilne grupe su sp^2 -hibridizovani. Stoga se oni nalaze u istoj ravni kao i druge dve grupe na ugljeniku, sa uglovima veza od približno 120° . Dve p-orbitale, (jedna na ugljeniku a druga na kiseoniku) su normalne na skelet molekula i grade π -vezu. S obzirom da je kiseonik elektronegativniji od ugljenika π -oblak je pomeren ka kiseoniku, a C=O veza polarizovana, sa delimično pozitivnim nanelektrisanjem na ugljeniku i istom količinom negativnog nanelektrisanja na kiseoniku. Na ovaj način ugljenik postaje elektrofilni a kiseonik nukleofilni centar u molekulu. Ovakva polarizacija se može predstaviti polarnom rezonantnom strukturu (Sl. 2.15.)[33].



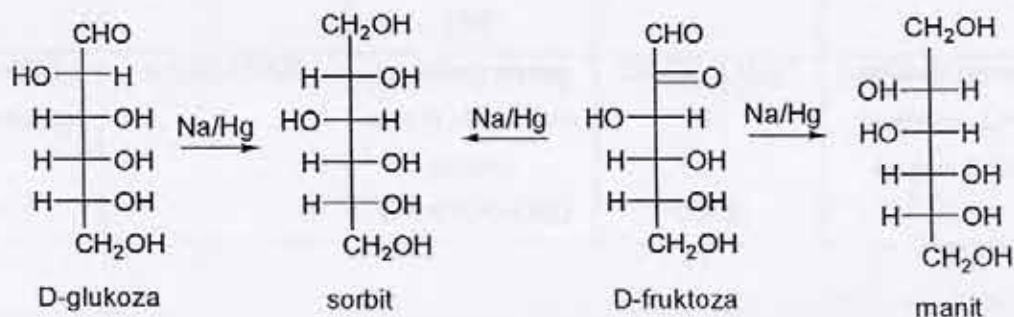
Slika 2.15. Rezonantne strukture karbonilne grupe

Ovaj deo molekula je u ravni pa je moguće nesmetan prilaz reaktanta s jedne ili druge strane ravni. Zbog toga je ova karbonilna grupa sa polarizovanom vezom vrlo reaktivna. Karbonilni C atom najčešće reaguje sa jedinjenjima koja su bogata elektronima kao što su baze.

Glikozidni C atom je reaktivno mesto u molekulu monosaharida [34]. Na ovom C atomu dolazi do reakcija dehidrogenovanja i hidrolize, kao i uspostavljanja glikozida raznih vrsta (acil derivata, unutrašnjih acetala). Ukoliko je glikozidni C atom blokiran uspostavljanjem nekih novih veza, sistem će u celini pokazivati znatno veću stabilnost, što se može videti na osnovu izostajanja reakcija u baznoj sredini, iako su slobodni saharidi u ovoj sredini veoma reaktivni. U tom slučaju doći će do izražaja reaktivnost ostalih

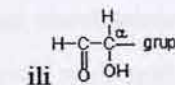
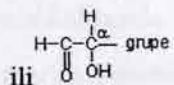
funkcionalnih grupa koja nije beznačajna. Molekul je u celini znatno reaktivniji ako su karbonilna grupa ili OH grupa na glikozidnom C atomu slobodne. Po svom karakteru hidroksilna grupa na glikozidnom C atomu (glikozidna OH grupa) je poluacetalna pošto je nastala intramolekulskom reakcijom alkoholne OH grupe sa C atomima 4,5, ili 6 i aldehidne grupe kod aldoza, odnosno keto grupe kod ketoza. Ova OH grupa se po svom hemijskom ponašanju znatno razlikuje od ostalih alkoholnih grupa prisutnih u molekulu monosaharida. Reakcionala specifičnost ove grupe je u tome što veoma lako može da se izvede nukleofilna supstitucija ove grupe. Kiseonik iz prstena svojim induktivnim efektom samo pomaže uspostavljanju prelaznog stanja za nukleofilnu supstituciju.

Alkoholne grupe monosaharida su reaktivnije od OH grupe običnih alkohola, što je rezultat njihove veće kiselosti. Alkoholne grupe monosaharida grade alkoholate u reakciji sa hidroksidima zemnoalkalnih metala, a ne samo sa alkalnim hidroksidima kao obični alkoholi. Takođe se lakše alkilišu i acilišu od običnih alkohola. Na Sl. 2.16. data je shema redukcije, a u tabeli 2.4. pregled mogućih reakcija D-glukoze i D-fruktoze.



Slika 2.16. Shema redukcije D-glukoze i D-fruktoze

Tabela 2.4. Shematski pregled reakcija D-glukoze i D-fruktoze

	D-glukoza		D-fruktoza	
Reaktant	Proizvod	Zaključak izveden na osnovu rezultata	Proizvod	Zaključak izveden na osnovu rezultata
H ₂ NOH	oksim	prisustvo C=O grupe	oksim	prisustvo C=O grupe
H ₂ NNHC ₆ H ₅	fenilhidrazon		fenilhidrazon	
HCN	cijanhidrin		cijanhidrin	
Feling-ov reagens	oksidacioni proizvodi (pozitivan)	prisustvo CHO 	oksidacioni proizvodi (pozitivan)	prisustvo CHO 
Tollens-ov reagens	oksidacioni proizvodi (pozitivan)		oksidacioni proizvodi (pozitivan)	
(CH ₃ CO) ₂ O	C ₆ H ₇ O(OCOCH ₃) ₅	prisustvo 5 OH grupa	C ₆ H ₇ O(OCOCH ₃) ₅	prisustvo 5 OH grupa
Na/Hg	heksit	postojanje ravnog niza C-C-C-C-C	heksit	postojanje ravnog niza C-C-C-C-C
Br ₂ +H ₂ O	(C ₅ H ₁₁ O ₅)COOH	prisustvo grupe -CHO	negativan	prisustvo grupe -CHO
HCN→H ₂ O→ HJ redukcija	n-C ₆ H ₁₃ COOH	postojanje ravnog niza sa aldehidnom grupom C-C-C-C-C-CHO	CH ₃ CH ₅ (CH ₂) ₃ C ₃ H ₃ COOH	postojanje ravnog niza sa grupom C=O na drugom C atomu

2.1.7 Uticaj kiselina na monosaharide

Delovanje kiselina na monosaharide može dovesti do niza promena, a najčešće su to izomerizacija i epimerizacija. Pod dejstvom razblaženih kiselina u anhidrovanim alkoholima nastaju glikozidi (Sl. 2.17). U razblaženim vodenim rastvorima kiselina uspostavlja se ravnoteža između aldoheksoza i 1,6-anhidrošećera (dolazi do intramolekulske dehidratacije). Pri dejstvu vrućeg razblaženog rastvora kiseline na aldoze može doći do nastajanja oligosaharida. Vrele, umereno koncentrovane kiseline (pr 12 mas. % HCl) prevode pentoze u furfural, a aldoheksoze u 5-hidroksimetilfurfural[36].



Slika 2.17 Nastajanje glikozida dejstvom kiselina na monosaharide

2.1.8. Dejstvo alkalija na monosaharide

Naročito izražena reaktivnost monosahara zapažena je u reakciji sa alkalijama.

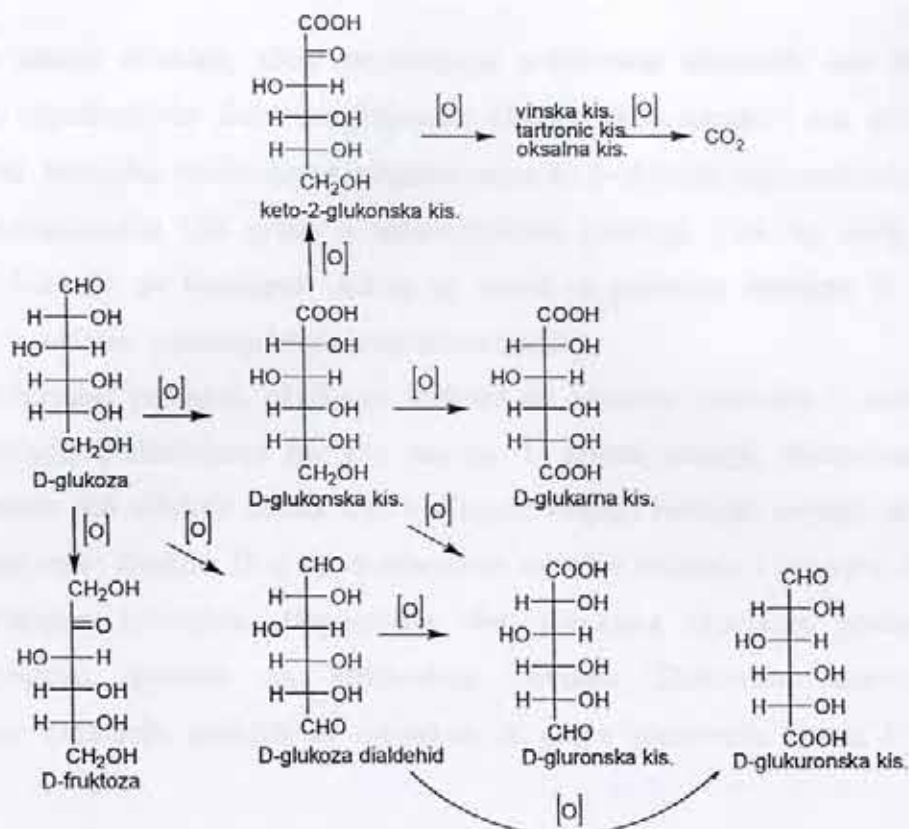
U jako baznoj sredini monosaharidi prelaze u kompleksnu smešu raznih proizvoda. U slučaju dejstva jakih alkalija na monosaharide može doći do promene veličine molekula odnosno razaranja skeleta molekula i stvaranja molekula sa manjim brojem C atoma. Dejstvom alkalija na heksoze nastaje smeša C₃ fragmenata. D- i L-glicerinaldehida i dioksiacetona. Na ovaj način nastali C₃ fragmenti međusobno uspostavljaju ravnotežu preko odgovarajućeg endiol oblika. Zahvaljujući reaktivnosti fragmenata, transformacije mogu da se nastave i da nastane stabilan produkt kao što je mlečna kiselina.

Postoji mogućnost da se kod heksoza odigrava i nesimetrična razgradnja, tako da mogu da nastanu fragmenti C₁ i C₅, kao i C₂ i C₄, ali se ovakvi slučajevi odigravaju znatno ređe, jer se razgradnja heksoza odigrava najčešće uz nastajanje C₃ fragmenata[36].

Uticaj slabo alkalnih rastvora na izomerizaciju i mutarotaciju glukoze je prikazan u predhodnom delu.

2.1.9. Reakcije oksidacije monosaharida

Oksidacijom monosahara može da nastane veći broj proizvoda[35]. Oksidacija može da se izvede tako da dođe do potpune razgradnje skeleta monosahara, i da se kao proizvod dobiju ugljen-dioksid i voda. Od praktičnog značaja su reakcije oksidacije koje dovode do transformacije monosahara pri kojima ne dolazi do narušavanja njihovog skeleta. Oksidacija D-glukoze se odgrava prvo na aldehidnoj, zatim na primarnoj alkoholnoj i konačno na jednoj i na drugoj funkcionalnoj grupi (Sl. 2.18). Polazeći od D-glukoze i izvođenjem kontrolisanih reakcija oksidacije mogu da nastanu tri kiseline i to: D-glukonska, D-glukuronska i D-glukarna kiselina[36].

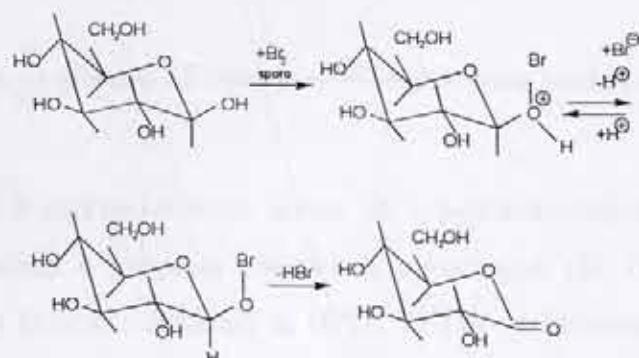


Slika 2.18. Stupnjevi oksidacije D-glukoze

Reakcija oksidacije glukoze se može ostvariti hemijskim i elektrohemimskim putem.

Hemijska oksidacija nastaje dejstvom blagih oksidacionih sredstava (bromna voda) na glukozu pri čemu dolazi do reakcije oksidacije na glikozidnom C atomu i nastajanja glukonske kiseline. Oksidacijom monosaharida nastaju aldonske kiseline čija se imena izvode na osnovu monosaharida iz kojih nastaju (npr. gluk-onska, man-onska, galakt-onska.).

Pri samoj oksidaciji glukoze nastaju prvo δ -laktoni prema shemi dатој на Sl. 2.19[37]

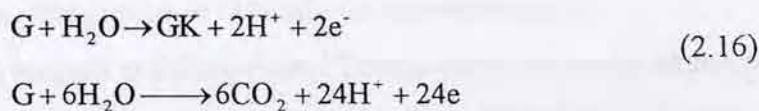
Slika 2.19. Oksidacija β -D-glukoze u δ -lakton D-glukonske kiseline

Ovako nastali δ -lakton, zbog nepovoljnog prostornog rasporeda nije dovoljno stabilan i lako hidrolizuje do slobodne glukonske kiseline da bi kasnije i ona uspostavila stabilni γ lakton. Hemijska oksidacija se odigrava samo na β -oblicima monosaharida, što se objašnjava pristupačnošću OH grupe u ekvatorijalnom položaju i na taj način većom reaktivnošću. Reakcija sa bromnom vodom se izvodi u prisustvu kalcijum ili barijum karbonata, čiji je zadatak vezivanje bromovodonične kiseline.

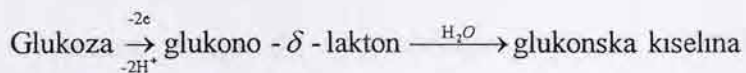
Elektrohemijski postupak oksidacije glukoze se ostvaruje posredno i neposredno. Posredna oksidacija podrazumeva bar dva stupnja. U prvom stupnju elektrohemijski se oksiduju određene soli alkalnih metala koji u drugom stupnju hemijski reaguju oksidujući glukozu do glukonske kiseline. Ovaj tip oksidacije se najčešće realizuje u prisustvu kalcijum bromida i kalcijum karbonata. Neposredna elektrohemijska oksidacija podrazumeva direktnu oksidaciju glukoze na elektrodnjoj površini. Elektrodni materijali za elektrohemijsku oksidaciju glukoze su uglavnom iz grupe plemenitih metala i njihovih legura.

Postoje pokušaji objašnjenja mehanizma oksidacije i na neplremenitim materijalima kako u alkalnoj [38] tako i u kiseloj i neutralnoj sredini [39,40].

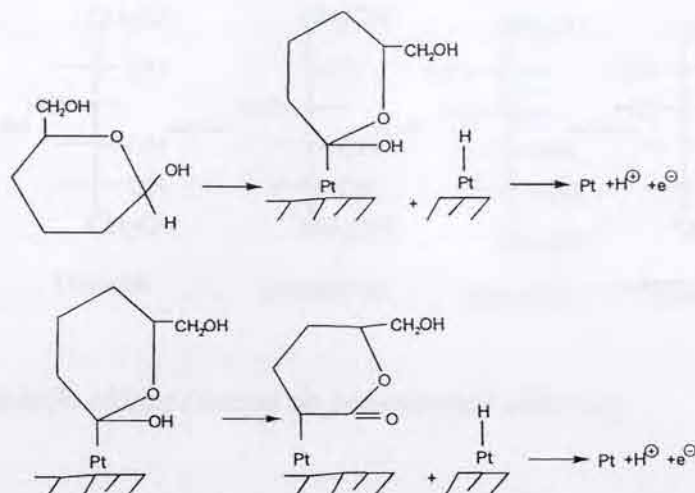
Ukupna elektrohemijska reakcija oksidacije D-glukoze na platini može se predstaviti sledećim reakcijama [41]:



Kada se oksidacija glukoze odigrava na platini modifikovanoj WO_3 u 0.5 M sumpornoj kiselini, pretpostavlja se da se oksidacija D-glukoze odigrava u dva stupnja.

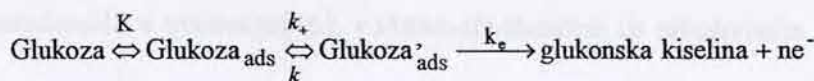


Pored stvaranja δ -glukono-laktona stvara se i γ -glukono-lakton. Interkonverzija jedne forme glukonolaktona u drugu se ubrzava sa povećanjem pH. Ovi međuproizvodi oksidacije D-glukoze su analitički dokazani sa HPLC i FTIR spektroskopijom. Mehanizam nastajanja δ -glukono-laktona na platini je dat na Sl.2.20 [42].



Slika 2.20. Mehanizam nastajanja δ -glukono-laktona redukcijom glukoze na platinskoj elektrodi

Pored ovog mehanizma predložen je i mehanizam u kome se kao međuproizvod pojavljuje i endiolni oblik D-glukoze ($\text{Glukoza}_{\text{ads}}$) na glatkoj platini u 1M sumpornoj kiselini[43]:



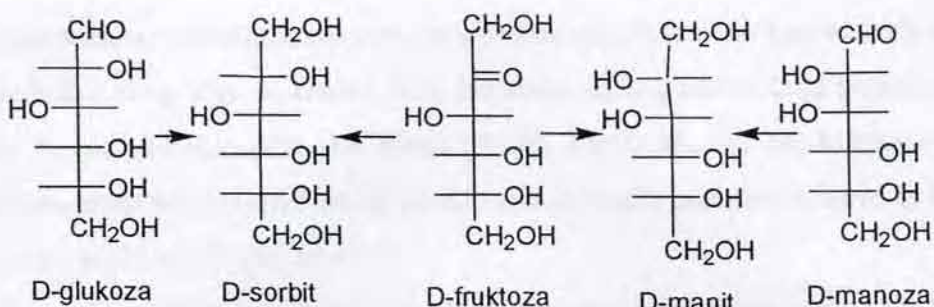
Ciklični acetalni, estri i ketoni (aceton) vrše selektivnu zaštitu alkoholnih funkcionalnih grupa a ostale grupe se oksiduju do karbonilne grupe.

Monosaharidi reaguju sa Feling-ovim i Tolens-ovim rastvorom uz formiranje smeš kompleksnih oksidacionih proizvoda pri čemu se izdvaja talog Cu_2O , odnosno Ag, što se i koristi kao reakcija za određivanje šećera.

2.1.10. Reakcije redukcije monosaharida

Aldoze i ketoze mogu da se redukuju dejstvom atomskog vodonika do odgovarajućih polivalentnih alkohola. Redukcijom aldoza nastaje samo jedan, dok ketoze daju dva polivalentna alkohola. Tako na primer redukcijom D-fruktoze nastaju D-sorbit i D-manit, redukcijom D-glukoze D-sorbit, a redukcijom D-manoze nastaje D-manit (Sl. 2.21.)

Redukcija monosaharida se izvodi u vodenim rastvorima ili u smešama vode i nekog pogodnog organskog rastvarača (alkohol, tetrahidrofuran), tako da postoji mogućnost uspostavljanja ravnotežnih stanja između njihovih cikličnih i acikličnih oblika.



Slika 2.21 Redukcija aldoza i ketoza do polivalentnih alkohola

Preparativno se redukcija najčešće izvodi dejstvom alkalnih hidrida bora u vodenim rastvorima ili smešama vode sa alkoholom pri pH = 10-10.5. Redukcijom koja se izvodi pod ovim uslovima ostvaruju se prinosi od oko 90%. Konstatovano je da se ketoze redukuju znatno sporije od aldoza. Za redukciju fruktoze je potrebno 4 sata, a glukoze 1 sat. Ova pojava se objašnjava[44,45] prostornom zaklonjenošću karbonilne grupe kod fruktoza, dok je kod glukoza karbonilna grupa znatno pristupačnija.

Reakcija redukcije monosaharida može da se ostvari delovanjem natrijum amalgama na monosaharide u vodenim[46], vodeno-alkoholnim ili alkoholnim rastvorima u alkalnoj sredini.

Redukcija glukoze se može ostvariti upotrebom Reni-nikla kao katalizatora u prisustvu kalcijum hidroksida na pH 9 do 9.5. Manitol se takođe može dobiti redukcijom vodenog rastvora fruktoze u prisustvu Reni-nikal katalizatora i dodatka mlevenog magnezijuma koji se dodaje za neutralizaciju organskih kiselina koje se dobijaju kao sporedni proizvod reakcije redukcije[17].

Reakcija redukcije monosaharida (D-glukoze) može da se ostvari i elektrohemijski na živinoj katodi što se i primenjuje u industrijskoj proizvodnji sorbitola[17]. Proizvodi elektrohemijske redukcije su, pored glavnog proizvoda sorbitola i 2-dezoksi-D-sorbitol, D-manitol, L-sorbitol, alit, 1-dezoksi-D-manitol. Pojava sporednih proizvoda je posledica odigravanja reakcija izomerizacije koje se odigravaju u baznoj sredini. U proizvodima redukcije se uvek nalazi više 2-dezoksi-heksita nego 1-dezoksi-heksita. Ovo bi moglo da ukazuje na činjenicu da se ketoze lakše redukuju nego aldoze i da D-sorbitol i D-manitol nastaju više redukcijom D-fruktoze nego direktno redukcijom D-glukoze i D-manoze. Najteže se redukuje D-glukoza pa se tako može objasniti odsustvo 1-dezoksi-D-sorbita među proizvodima redukcije.

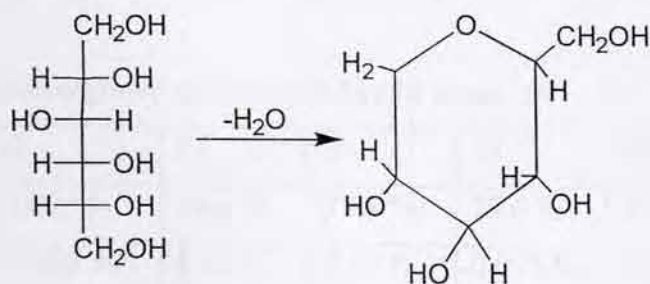
D-fruktoza, u vodenim rastvorima je prisutna sa 0.7 mas. % kao aciklična otvorena forma molekula i zbog toga se zнатно brže redukuje od D-glukoze koja postoji samo oko 0.002 mas. % kao aciklična otvorena forma i 0.006 – 0.01 mas. % kao hidratna forma. Na osnovu ovoga može se zaključiti da će se više redukovanih proizvoda dobiti iz ketoza (D-fruktoza) nego iz aldoza (D-glukoze).

Ravnoteža reakcije mutarotacije može se pomerati u prisustvu katalizatora kao što je na primer trovalentni cerijum, koji pomera ravnotežu ka otvorenoj formi D-fruktoze i na taj način povećavajući koncentraciju otvorenog oblika što ubrzava reakciju njene redukcije[47]. Ketoni mogu da blokiraju pojedine grupe monosaharida i na taj način da uspore ili potpuno zaustave reakcije redukcije na pojedinim grupama u molekulu.

2.1.11. Sorbitol(D-sorbit)

Sorbitol ima široku primenu. Upotrebljava se u industriji plastičnih masa, industriji duvana i hartije, za proizvodnju površinski aktivnih materija i međuproduct je u sintezi vitamina C. Koristi se u proizvodnji elektrolitičkih kondenzatora, za pripremu antifriза kao zamena glicernu, kao šećer za dijabetičare i u zubnim pastama. Estri sorbitola i manitola sa kaprinskom kiselinom se upotrebljavaju kao insekticidi[48,49].

Sorbitol predstavlja najznačajniji šećerni alkohol (poliol). Sorbitol (sorb – oskorušino drvo) je prvo bio izolovan iz bobica planinskog jasena. Crvena morska trava sadrži preko 14 mas. % sorbitola. Izolovan je u znatnim količinama i iz drugih biljaka, počevši od alg i pa do viših vrsta. Sorbitol se može dobiti na više načina. ekstrakcijom plodova jerebice i drugih biljnih vrsta,



Slika 2.22. Reakcija dehidriranja sorbitola

redukcijom D-fruktoze ili D-glukoze amalgamom natrijuma, katalitičkom hidrogenacijom D-glukoze u prisustvu nikla ili platine kao katalizatora, kao sporedni produkt u proizvodnji etanola reakcijom uz prisustvo enzima i elektrohemijском redukcijom D-glukoze. Sorbitol je jako rastvoran u vodi i stvara guste viskozne rastvore. Lako se dehidriraju gradeći derivate tetrahidropirana i tetrahidrofurana (Sl. 2.22).

Sorbitol se rastvara u vodi, slabije u metanolu, etanolu i sirćetnoj kiselini (Tabela 2.5), a u drugim organskim rastvaračima je praktično nerastvoran. Tačka topljenja je 93 do 97 $^{\circ}\text{C}$.

Tabela 2.5. Rastvorljivost sorbitola (D-Sorbit)

u vodi		96% $\text{C}_2\text{H}_5\text{OH}$	
$t \ ^{\circ}\text{C}$	mas.%	$t \ ^{\circ}\text{C}$	mas.%
20	72%	20	2.8
60	86.5	50	7.8
		78	20-25

2.1.12. Manitol (D-manit)

Šestovalentni alkohol slatkog ukusa, rastvara se u vodi, slabije u etanolu (Tabela 2.6.) i ne rastvara se u drugim organskim rastvaračima [49,50]. Tačka topljenja je 165 do 167 $^{\circ}\text{C}$. Sadrže ga alge, neke gljive i masline. Upotrebljava se kao hranljiva podloga za bakterije, kao dodatak sredstvima za lemljenje, u proizvodnji veštačkih smola, kao omekšivač, za sintezu eksploziva (heksanitro-manit). Nalazi takođe primenu u farmaciji (lečenje oboljenja mozga, inaktivirajuće deluje na streptomicin).

Tabela 2.6. Rastvorljivost manitola (D-Manit) u mas. %

$t \ ^{\circ}\text{C}$	0	15	25	35	50	60
u vodi	10.2 %	16.4 %	21.3 %	29.6 %	47.2 %	61.2 %
u 96% $\text{C}_2\text{H}_5\text{OH}$	0.003 %	0.01 %	0.03 %	0.075 %	0.28 %	0.8 %

Zahvaljujući slaboj rastvorljivosti manitola u alkoholu moguće ga je relativno jednostavno odvojiti od sorbitola.

2.2. Klasifikacija organskih elektrohemijskih reakcija

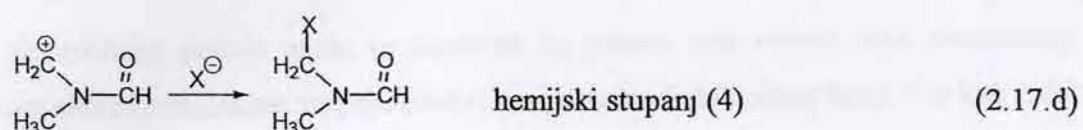
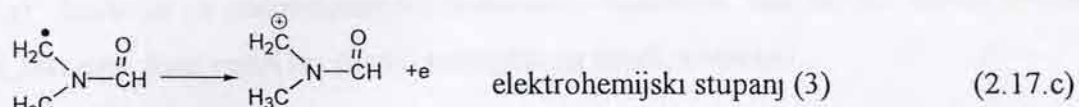
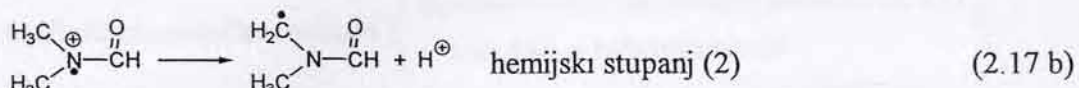
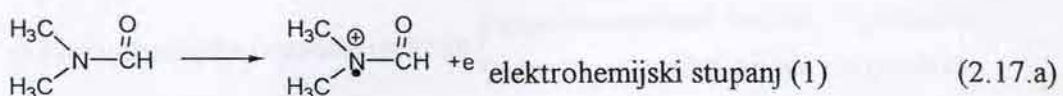
Mnoge poznate organske elektrohemijске reakcije[51-54] mogu se klasifikovati na nekoliko načina. Tako na primer, u zavisnosti od tipa reakcije, moguće je razlikovati:

- a) reakcije izmene nanelektrisanja (često prvi elektrohemijski stupanj)
- b) konverzionate reakcije
- c) reakcije adicije
- d) reakcije supstitucije
- e) reakcije eliminacije
- f) reakcije kuplovanja
- g) reakcije cepanja
- h) elektrokatalitičke reakcije

Svi navedeni tipovi reakcija su uočeni kako kod anodnih, tako i kod katodnih reakcija. Međutim, treba imati na umu, da kod organskih sinteza, elektrohemijске reakcije mogu uključiti veći broj navedenih tipova reakcija, što dovodi do formiranja većeg broja produkata. Neophodno je stoga odrediti (uspostaviti) optimalne uslove za odigravanje reakcije kako bi se dobio željeni produkt ili produkti.

Alternativna i elektrohemijski značajna metoda klasifikacije elektroorganiskih reakcija se zasniva na tipu mehanizma ukupne elektrodne reakcije, što podrazumeva utvrđivanje broja i redosleda elektrohemijskih i hemijskih reakcionih stupnjeva u njemu.

Primena oba tipa klasifikacije mogu se ilustrativno prikazati na primeru elektrohemijске oksidacije alifatičnog amida, NN-dimetilformamida. Formiranje ovog supstituisanog amida može se klasifikovati kao reakcija supstitucije ili u funkciji mehanizma reakcije kao elektrohemijска-hemijska-elektrohemijска-hemijska reakcija (EHEH mehanizam), što prikazuju jednačine 2.17a. – 2.17d.



Na osnovu dostupne literature[55-57] moguće je jednostavno zbirno prikazati elektroorganske reakcije na mnogo opštiji način, što je prikazano u tabeli 2.7

Tabela 2.7. Sumarni prikaz organskih elektrohemijskih reakcija

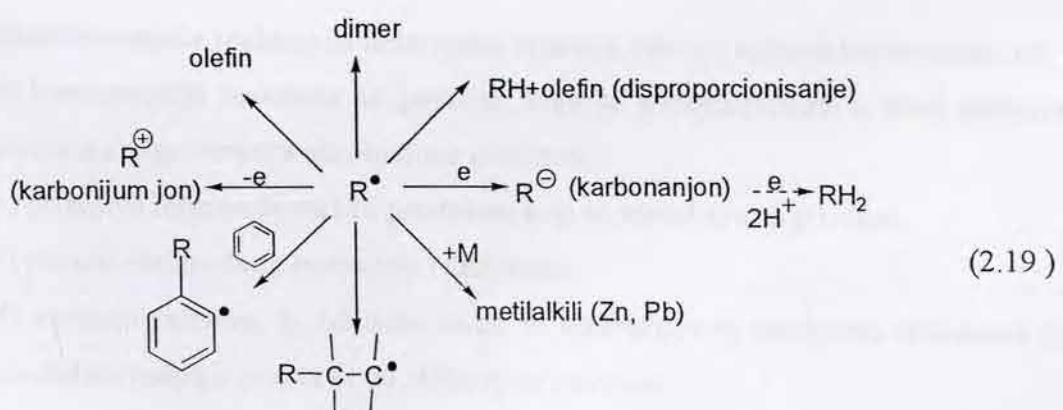
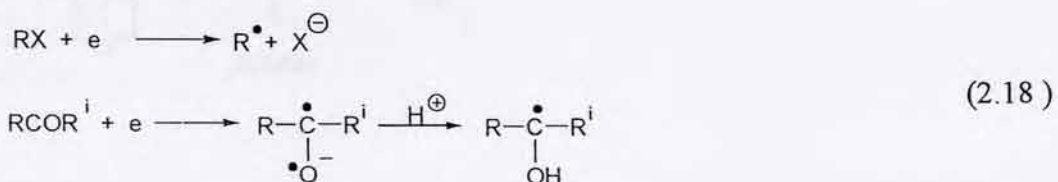
Elektroredukcija (katodni procesi)	Elektrooksidacija (anodni procesi)	Ostali elektrohemijski procesi
<ul style="list-style-type: none"> ▪ Redukcija alkena i alkina ▪ Redukcija aromatičnih ugljovodonika ▪ Redukcija karbonilnih jedinjenja ▪ Redukcija nitro-jedinjenja ▪ Redukcija nitrila, imina, oksimina ▪ Redukcija C-halogen veza ▪ Redukcija organosumpornih jedinjenja 	<ul style="list-style-type: none"> ▪ Oksidacija alifatičnih ugljovodonika ▪ Oksidacija aromatičnih ugljovodonika ▪ Reakcije supstitucije aromatičnih jedinjenja <ul style="list-style-type: none"> 1 Hidroksilacija 2 Alkoksilacija 3 Aciloksilacija 4 Acetamidacija 5 Cianacija ▪ Kolbereakcije ▪ Oksidacija amina ▪ Oksidacija amida ▪ Oksidacija alkohola i fenola ▪ Oksidacija etara ▪ Oksidacija nitroalkena, hidrazina 	<ul style="list-style-type: none"> ▪ Indirektna oksidacija i redukcija ▪ Anodna halogenacija ▪ Elektrohemijска polimerizacija ▪ Elektrosinteza organometalnih jedinjenja ▪ Elektrohemijiske organske prevlake

Opšta elektrohemijska klasifikacija prema tipu reakcije je:

- a) Elektrohemijske organske reakcije
 - anodne → radikal katjoni → produkti
 - katodne → radikal anjoni → produkti
- b) Elektrokatalitičke reakcije
 - anodne → opšta oksidacija, ponekad do CO_2
 - katodne → hidrogenovanje
- c) Reakcije sa elektrohemski formiranim česticama, kao što su debeli oksidni filmovi, rastvorni joni, reaktivni gasovi izdvojeni na anodi, elektroni.

Specifičnija podela može se napraviti na osnovu tipa radikal jona formiranog u početnom elektrohemskom stupnju (reakcija nije elektrokatalitičkog tipa), bilo kao radikal katjona ili radikal anjona.

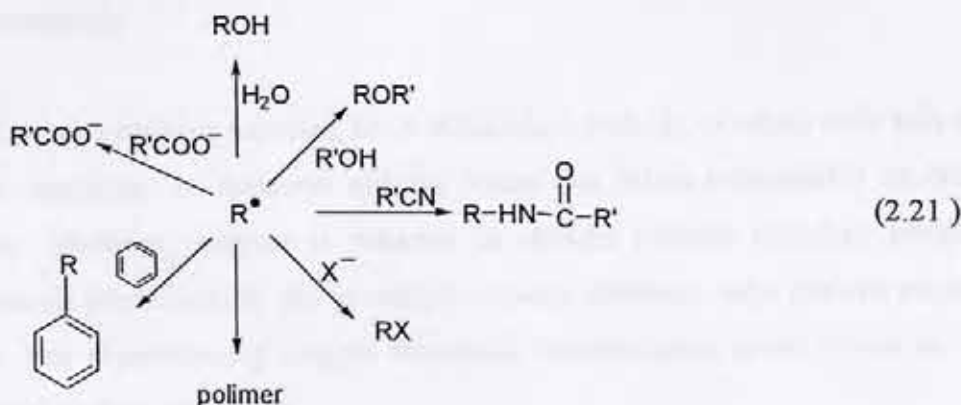
Primeri za ovaj tip klasifikacije za katodne i anodne reakcije su shematski prikazani jednačinama 2.18 i 2.19 (za radikal anjon) kao i 2.20, 2.21 (za radikal katjon). Mogući procesi koji se javljaju posle katodne elektrohemiske proizvodnje karbonanjona su prikazani jed. (2.18) i (2.19).



gde je RX – alkilhalogenid a RCOR^{i} keton

Aromatična jedinjenja u nevodenim aprotonskim rastvaračima daju R^{+*} i R^{-*} čestice koje su relativno stabilne, s tim što je R^{+*} manje stabilan od R^{-*} .

Procesi koji se javljaju nakon elektrohemiske anodne proizvodnje karbonijum jona su prikazani jed. (2.20) i (2.21).



2.2.1. Kinetički faktori u organskim elektrohemiskim reakcijama

Elektrohemiske reakcije su heterogene reakcije, tako da njihova brzina zavisi od:

- a) koncentracije reaktanta na površini, koju sa koncentracijom u masi elektrolita povezuje odgovarajuća adsorpciona izoterna,
- b) prisustva intermedijera i/ili produkata koji se adsorbiju na površini,
- c) prirode elektrodnog materijala i rastvarača,
- d) mešanja rastvora, tj. od difuzionog ili konvektivnog transporta reaktanata i/ili produkata reakcije prema ili od elektrodne površine.

Dodatno, zbog elektrohemiske prirode reakcija, njihove brzine će takođe zavisiti od:

- e) međufazne razlike potencijala na granici metal/rastvor i od znaka površinskog nanelektrisanja na elektrodnoj površini, što određuje orijentaciju i adsorpciju molekula reaktanata ali i molekula rastvarača.

Uticaj difuzije na brzinu elektrohemijске reakcije može biti veoma značajan (faktor (d)), kako u slučaju kad je konstanta brzine elektrohemijskog stupnja velika, pa ukupnu brzinu reakcije ograničava brzina difuzije, tako i kod sporih elektrohemijskih reakcija kod kojih je dovoljno mala koncentracija reaktanta u masi rastvora.

Pošto se na brzinu elektrohemijске reakcije utiče promenom elektrodnog potencijala, moguće je postići uslove kada difuziona ograničenja postaju značajna, kao što su niske koncentracije, dovoljno visoki potencijali.

2.2.2. Zavisnost brzine organske elektrohemijске reakcije od elektrodnog materijala

Značajna osobina najvećeg broja elektrodnih reakcija, posebno onih koje uključuju organske supstance, je zavisnost njihove brzine (na datom potencijalu) od elektrodnog materijala. Međutim, moguće je pokazati da ukoliko reakcija uključuje prostu izmenu nanelektrisanja (elektrona) ili ako je reakcija izmene elektrona dalje praćena stupnjevima u rastvoru, bez elementarnog stupnja adsorpcije intermedijera, njena brzina ne zavisi od prirode elektrodnog materijala.

Razmotrimo reakciju redukcije:



koja se odigrava na dva različita metala M_1 i M_2 , a reakcija ne uključuje adsorpciju intermedijera na površinama metala. Ako su izlazni radovi elektrona iz metala ϕ_1 i ϕ_2 respektivno i ako je $\phi_2 > \phi_1$, tada će, ukoliko je za prepostavljenu elektrohemijsku reakciju $n=1$, energija aktivacije reakcije na metalu M_2 biti veća od iste na metalu M_1 kao posledica razlike u izlaznom radu elektrona.

Ako se ovo razmatranje iskaže jednačinama za brzinu reakcije redukcije na dva različita metala tada je:

$$j_1 = nF \frac{kT}{h} C_0 \exp\left[-\frac{\Delta G_1^{0\#}}{RT}\right] \exp\left[-\frac{\beta FE_{r,1}}{RT}\right] \exp\left[-\frac{\beta \eta F}{RT}\right], \quad (2.23)$$

$$j_2 = nF \frac{kT}{h} C_0 \exp\left[-\frac{\Delta G_2^{0\#}}{RT}\right] \exp\left[-\frac{\beta FE_{r,2}}{RT}\right] \exp\left[-\frac{\beta \eta F}{RT}\right], \quad (2.24)$$

gde su, η -prenapetost, j_1 i j_2 - gustina struje na M_1 i M_2 , $E_{r,1}$ i $E_{r,2}$ – ravnotežni potencijal metala M_1 i M_2 , $\Delta G_1^{0\neq}$ i $\Delta G_2^{0\neq}$ - standardna promena Gibbsove energije aktivacije na M_1 i M_2 , pri čemu je $\Delta G_1^{0\neq} \neq \Delta G_2^{0\neq}$

Činjenica, da brzine mnogih reakcija zavise od elektrodnog materijala ukazuje na prisustvo adsorpcije: a) reaktanta, b) proizvoda ili c) intermedijera formiranih u toku reakcije. Ukoliko je adsorpcija uključena tada promena lokalne koncentracije reaktanta na elektrodnjoj površini, prouzrokuje zavisnost kinetike reakcije od elektrodnog potencijala, preko promena energije aktivacije različitih elementarnih stupnjeva ili preko blokirajućeg ili interakcionog efekta između adsorbovanih čestica na površini elektrode.

Proste redoks reakcije, kao što je Fe^{2+}/Fe^{3+} , su reakcije čija kinetika je praktično nezavisna od elektrodnog materijala, što ukazuje na odsustvo adsorpcije i interakcionih efekata.

Kinetika organskih elektrohemijskih reakcija zavisi od prirode metala, jer ona uključuje adsorpciju, tako da je izučavanje uticaja adsorpcije od ogromnog značaja.

2.2.3. Zavisnost iskorišćenja struje od uslova elektrolize

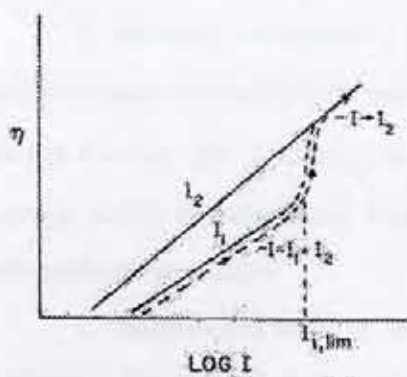
U svim organskim elektrohemijskim reakcijama, priroda produkata je preduslov za određivanje mehanizma reakcije. Ova analiza uključuje karakterizaciju sporednih produkata jer vrsta ovih produkata može ukazati na reakcioni mehanizam i/ili prirodu intermedijera koji se stvaraju u reakciji. U elektrohemijskim procesima, pored hemijskog iskorišćenja važno je i Faradejsko iskorišćenje koje se iskazuje u odnosu na broj elektrona po molu formiranog produkta.

Iskorišćenje po produktima zavisi od elektrodnog potencijala, pa su potencijostatski uslovi elektrolize poželjni.

Kao primer, mogu se uzeti dva slučaja sinteze: redukcija nitrobenzena koja u zavisnosti od potencijala može da se odigrava do formiranja nitrozobenzena, fenilhidroksilamina ili anilina[58] i oksidacija karbonskih kiselina RCOOH, (Kolbe) kod kojih se produkt R_2 ($+2CO_2$) dobija na Pt ili Ir[59] na visokim potencijalima (>2.2 V/SVE), ali se takođe mogu dobiti različiti produkti oksidacije na nižim potencijalima (0.8 – 1.5 V/SVE), posebno na katalitički aktivnim elektrodama kao što je platinizirana platina.

Kod paralelnih reakcija, relativno iskonšćenje po produktima zavisi od relativne vrednosti struja reakcija na datom potencijalu [60]. Relativno iskonšćenje paralelnih reakcija zavisiće od potencijala ukoliko se razlikuju njihovi Tafelovi nagibi. Efekti adsorpcije, na primer uticaj proizvoda jedne reakcije na drugu paralelnu reakciju, mogu dovesti do izmene Tafelovih nagiba.

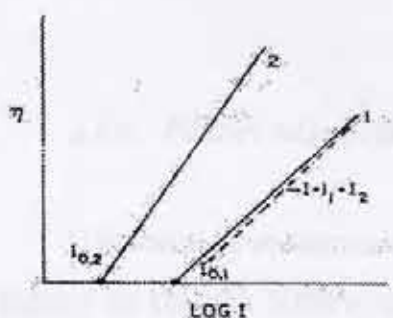
Za dve paralelne reakcije 1 i 2, ukupna struja je:



$$\begin{aligned} I &= I_1 + I_2 = \\ &= I_{0,1} \exp \left[\alpha_1 \eta_1 F / RT \right] + I_{0,2} \exp \left[\alpha_2 \eta_2 F / RT \right] \end{aligned} \quad (2.25)$$

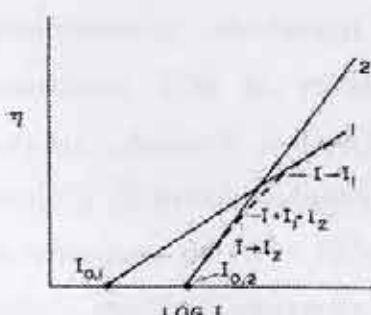
Slika 2.23.a) Zavisnost η -log I (uticaj stepena adsorpcije)

gde su α_1 i α_2 koeficijent prenosa nanelektrisanja koji određuju vrednosti Tafelovih nagiba b ($=2,303RT/\alpha F$), η_1 i η_2 prenapetosti za svaku reakciju na datom elektrodnom potencijalu E ($\eta_1=E-E_{r,1}$ i $\eta_2=E-E_{r,2}$, gde su sa $E_{r,1}$ i $E_{r,2}$ obeleženi odgovarajući reverzibilni potencijali odgovarajućih reakcija), a $I_{0,1}$ i $I_{0,2}$ njihove struje izmene.



Slika 2.23.b) Zavisnost η -log I u zavisnosti od struja izmene paralelnih reakcija

Različiti slučajevi nastaju u zavisnosti od (a) relativnih vrednosti za struju izmene, I_0 , (b) relativnih vrednosti za α , i (c) uticaja stepena pokrivenosti elektrode koji je posledica adsorpcije. Uticaj stepena pokrivenosti opisuju modifikovani oblici jednačine (2.25) pa je:



$$I_1 = I_{0,1} (1 - \theta_1) \exp(\alpha_1 \eta_1 F / RT) \quad (2.26)$$

Slika 2.23.c) Zavisnost η -log I (uticaj relativnih vrednosti za α)

$$I_2 = I_{0,2} (1 - \theta_2) \exp(\alpha_2 \eta_2 F / RT) \quad (2.27)$$

Ove jednačine pokazuju da struje paralelnih reakcija I_1 i I_2 zavise od slobodne površine $1-\theta_1$, odnosno $1-\theta_2$, koja se menja sa potencijalom usled zavisnosti adsorpcije produkta i/ili intermedijara paralelnih reakcija od potencijala (Sl. 2.23.a.)

U odsustvu adsorpcije i pri $I_{0,1} > I_{0,2}$ i $\alpha_1 > \alpha_2$, relativno iskoršćenje po produktima mereno preko odnosa I_1/I_2 će uvek da raste sa porastom η (Sl. 2.23.b.)

Ako je $I_{0,2} > I_{0,1}$ (Sl. 2.23.c.), i $\alpha_1 > \alpha_2$, relativno iskoršćenje je na malim η $I_1/I_2 < 1$, zatim postaje jedan na određenoj karakterističnoj vrednosti za η , $I_1/I_2 = 1$ a potom je pri višim prenapetostima $I_1/I_2 > 1$

U slučajevima kada se javlja difuziono ograničenje kod glavne reakcije (na primer reakcija 1 (Sl. 2.23a)), dok je reakcija 2 reakcija razgradnje pomoćnog rastvora, $I < I_{1,d}$ ali je $I > I_2$ u ispitivanoj oblasti potencijala, pogodno je održavati potencijal u oblasti gde je $I_1(\eta) >> I_2$. Kada je $I > I_{1,d}$ sporedna reakcija sa sve većim udelom učestvuje sa povećanjem potencijala.

2.2.4. Faktori adsorpcije organskih molekula

U literaturi je veoma malo pažnje posvećeno ispitivanju uticaja adsorpcije organskih supstanci na kinetiku elektroorganskih reakcija, mada je uloga adsorpcije jasno istaknuta naročito u ruskoj literaturi (Frumkin, Bagotski, Damaskin)[61-62].

Za pojedine reakcije elektrohemijske oksidacije i redukcije organskih jedinjenja, kao što je oksidacija ugljovodonika, formaldehida i metanola, postoji mogućnost eksperimentalnog određivanja parametara koji daju direktni uvid u hemisorpciju intermedijera. Tako je, primenom radioizotopa nedvosmisleno pokazano postojanje adsorpcije organskih jedinjenja na međufazi elektroda/rastvor na živi, amalgamu i platini[63]. U većini slučajeva kod malih organskih molekula adsorpcija se javlja pri koncentracijama od 10^{-3} - 10^{-1} mol dm⁻³ dok se kod velikih aromatičnih i heterocikličnih molekula, značajnija adsorpcija javlja već pri koncentracijama 10^{-6} - 10^{-5} mol dm⁻³

Osnovni tipovi interakcija koji dovode do adsorpcije na elektrodnoj površini su

1. Liofobne - hidrofobne - interakcije koje dovode do adsorpcije reaktanta iz rastvora na elektrodnoj površini, čak i kada nije prisutna specifična interakcija sa metalom.

2. Interakcije dipola dvojnog sloja sa funkcionalnim grupama organskog reaktanta.

3 Specifična adsorpcija (ili hemisorpcija) određenih atomskih grupa sa elektrodnom površinom, npr. =S ili =SH na Hg, uz pregrupisavanje π -orbitala na pozitivno (anoda) nanelektrisanoj površini elektrode.

4 Disocijativna hemisorpcija na d-metalima kao što su Ni, Pt, Pd, itd. gde se formiraju adsorbovani alkil ili alkilen radikali uz istovremenu adsorpciju desosovanih H-atoma.

5 Hemisorpcija organskih radikala kao posledica prenosa nanelektrisanja i protonacije rastvarača. Ovaj tip adsorpcije je značajan na mnogim metalima gde se reakcija odigrava preko formiranja organometalnih intermedijera, kao što su određivanje reakcije redukcije na Zn, Cd, Hg, Pt itd.

Jonski intermedijeri, kao međuprodukti organskih reakcija, se slabije adsorbuju od neutralnih molekula, jer intermedijer teži da se desorbuje sa površine pre svega zbog:

a) jače solvatacije usled elektrostabilne interakcije sa molekulima rastvarača,

b) repulzije između elektrodnog nanelektrisanja i jona u dvojnom sloju, kada je nanelektrisanje jonskog intermedijera istog znaka kao elektrode na kojoj je došlo do njegove adsorpcije.

U vodenim rastvorima većine organskih supstanci, molekuli vode teže da budu preferencijalno adsorbovani zahvaljujući relativno jakom dipolnom momentu i maloj veličini. Tako na primer, da bi se adsorbovao organski molekul veličine piridina, neophodno je da dođe do desorpcije oko četiri molekula vode[63].

Električno polje teži takođe da izazove orijentaciju (a) dipola rastvarača i (b) molekula reaktanta, ukoliko je polaran, ili ima polarnu funkcionalnu grupu. Takođe, kod molekula sa konformacionom fluktuacijom, konformacije sa jačim dipolnim momentom će biti više adsorbowane.

Orijentacija funkcionalnih grupa u električnom polju je značajna u kinetiči redukcije polarnih reaktanata kao što su ketoni, što je diskutovano od strane Elvinga i Pullmana[64]

2.2.5. Red reakcije i adsorpcija u kinetici organskih elektrohemiheskih reakcija

Pri praćenju kinetike i utvrđivanja mehanizma organskih elektrohemiheskih reakcija, primenjuje se postupak koji se inače primenjuje kod ispitivanja uobičajenih elektrohemiheskih reakcija kao i metode koje se primenjuju u elektrohemiheskoj kinetici [65-67].

Ukoliko u reakciji dolazi do adsorpcije reaktanta, tada se parcijalni red reakcije mora interpretirati uključujući i odgovarajući tip adsorpcione izoterme.

Ako je npr. za određenu reakciju, gustina struje na konstantnom potencijalu predstavljena jednačinom.

$$j_E = k_E \theta_i^n \quad (2.28)$$

gde je sa θ_i prikazan stepen pokrivenosti reaktanta i , a sa n - molekularnost površinske reakcije, koja je definisana kao $\frac{d(\ln j_E)}{d(\ln \theta_i)} = n$. Red reakcije r , se određuje eksperimentalno u odnosu na koncentraciju reaktanta u masi rastvora, tj

$$r = d(\ln j_E) / d(\ln C) \quad (2.29)$$

Jednačina (2.29) se može iskazati kao:

$$r = [d(\ln j_E) / d(\ln \theta_i)][d(\ln \theta_i) / d(\ln C)] \quad (2.30.)$$

odnosno

$$n = r / [d(\ln \theta_i) / d(\ln C)] \quad (2.31)$$

Jednačina (2.31) pokazuje da se red reakcije prepostavljene reakcije može odrediti ukoliko se definiše oblik adsorpcione izoterme $[\theta_i = f(C)]$ jer je delilac $d(\ln \theta_i) / d(\ln C)$ izvod adsorpcione izoterme na konstantnom potencijalu i može se dobiti iz eksperimentalnih parametara. Uobičajeno [68] je da se izraz $d(\ln \theta_i) / d(\ln C)$ izrazi kao $(d\theta_i / dC)C / \theta_i$, jer je ovaj poslednji izvod lakše dobiti, posebno u slučajevima kada izoterme imaju linearne i transcedentalne članove.

Tako, ukoliko je adsorpcija definisana Lengmировом adsorpcionom izotermom.

$$\frac{\theta_i}{1-\theta_i} = kC \text{ ili } \theta_i = \frac{kC}{1+kC} \quad (2.32.)$$

Tada je

$$\frac{d\theta_i}{dC} = \frac{(1+kC)k - k^2C}{(1+kC)^2} = \frac{1}{(1+kC)^2} \quad (2.33)$$

Odnosno $C/\theta_i = \frac{1+kC}{k}$, pa sledi

$$\frac{d(\ln \theta_i)}{d(\ln C_i)} = \frac{k}{(1+kC)^2} \frac{1+kC}{kC} = \frac{1}{1+kC} \quad (2.34)$$

Uvođenjem jednačine (2.34) u jednačinu (2.31) dobija se,

$$n = r (1+kC), \quad (2.35)$$

ili

$$\frac{r}{n} = \frac{1}{1+kC} = (1 - \theta_i), \quad (2.36)$$

pri čemu je $r = n$ samo pri malim stepenima pokrivenosti ($\theta \ll 1$).

Prema tome, n se može odrediti iz eksperimentalno određene vrednosti za r iz odgovarajućih adsorpcionih izotermi. Različiti oblici adsorpcionih izotermi prikazani su u tabeli 2.8.

Tabela 2.8. Tipovi adsorpcionih izotermi i odgovarajući korelacioni faktori $\left(\frac{\partial(\ln \theta_i)}{\partial(\ln C)} \right)_E$

Tip izoterme	Oblik izoterme	$\left(\frac{\partial(\ln \theta_i)}{\partial(\ln C)} \right)_E$
Henrijeva	$k(c_R) = RT\theta\Gamma_m$	1
Langmuirova	$k(c_R) = \frac{\Gamma}{\Gamma_m} \frac{\theta}{1-\theta}$	$1-\theta$
Frumkinova	$k(c_R) = \theta/(1-\theta) \exp(-\Gamma\theta\Gamma_m)$	$\frac{1-\theta}{1-f\theta\Gamma_m + f\theta^2\Gamma_m}$
Temkinova	$k(c_R) = \exp(-f\theta\Gamma_m)$	$1/(f\Gamma_m\theta)$

U tabeli 2.8 simboli u jednačinama imaju sledeća značenja.

Γ - površinska koncentracija adsorbovane vrste,

Γ_m - površinska koncentracija adsorbovane vrste koja odgovara monosloju,

θ - stepen pokrivenosti adsorbovanom vrstom $\theta = \Gamma / \Gamma_m$,

f - parametar interakcije koji karakteriše dvodimenzionalno privlačenje ili odbijanje u adsorbovanom sloju u Frumkinovoj adsorpcionoj izotermi ili faktor heterogenosti u Tjomkinovoj izotermi.

2.2.6. Kinetika katodnog procesa sa učešćem organskih supstanci

Elektrohemijska reakcija koja uključuje učešće organskih molekula može se odigravati preko nekoliko sukcesivnih stupnjeva.

- difuzija molekula iz mase rastvora do međufaze elektroda-elektrolit,
- adsorpcija molekula na površini elektrode,
- prenos i izmena jednog ili više elektrona,
- desorpcija sa površine elektrode uz eventualnu transformaciju
- difuzija produkta u masu rastvora.

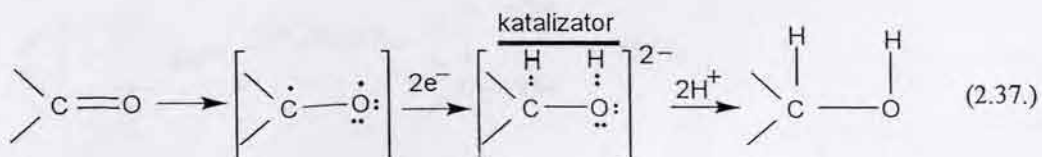
Ukupna brzina ove složene reakcije ograničena je brzinom reverzibilnog stupnja u njenom mehanizmu.

U slučajevima kada ni difuzija, ni adsorpcija reagujućih čestica ne predstavljaju spore stupnjeve, brzinu reakcije određuje najsporiji elektrohemski stupanj. Jačina električnog polja u blizini elektrode veoma brzo opada sa rastojanjem od elektrodne površine, te zato izrazito veliki organski molekuli retko mogu potpuno da se smeste u onoj oblasti gde je intenzitet električnog polja dovoljno veliki da bi obezbedio njegovo reagovanje. Najčešće se u reakcijama elektrosinteze kao rastvarač koristi voda pa reakcije elektrohemiskog izdvajanja vodonika i kiseonika, kao rezultat razlaganja vode, imaju uticaj na ukupni tok elektrosinteze organskih supstanci.

2.3. Reakcije redukcije karbonilne grupe

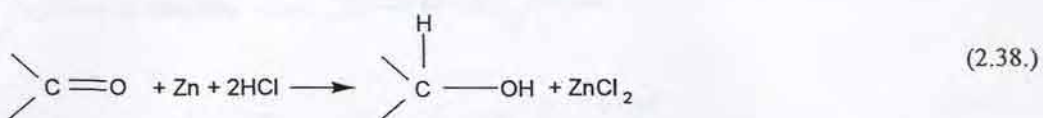
2.3.1. Reakcioni put uz prisustvo katalizatora

Redukcija karbonilne grupe može da se ostvari katalitičkim hidrogenovanjem u prisustvu paladijuma, platine, skeletnog nikla i bakar-hromnih katalizatora[69]. Ova reakcija se odigrava u prisustvu katalizatora jer katalizator smanjuje energiju aktivacije, a ne utiče na energetski sadržaj reaktanta i proizvoda reakcije. Molekuli vodonika i ugljovodonika se adsorbuju na površini katalizatora i to tako da se u momentu reakcije raskida H-H i C-O veza po tipu radikala koji se spajaju i daju redukovani oblik karbonilne grupe. Reakcija hidrogenacije je egzotermna, ali se u odsustvu katalizatora neće odigrati čak ni na povišenoj temperaturi. Međutim, u prisustvu katalizatora, hidrogenacija se odigrava (veoma sporo) i na sobnoj temperaturi. Glavna funkcija katalizatora je da aktivira vodonik odnosno da ga adsorbuje i omogući lakše raskidanje jake H-H veze. Ukoliko se ova reakcija odigrava u alkalnoj sredini brzina reakcije raste ali se tada javlja veći broj sporednih produkata. Hidrogenovanjem pod pritiskom reakcija se ubrzava, a sporedne reakcije se odvijaju u manjem obimu. Reakcija redukcije karbonilne grupe u molekulu monosahara ($t=140^{\circ}\text{C}$, $p=80$ bar) je primenjena za proizvodnju sorbitola iz glukoze[70] kao što je prikazano shemom.

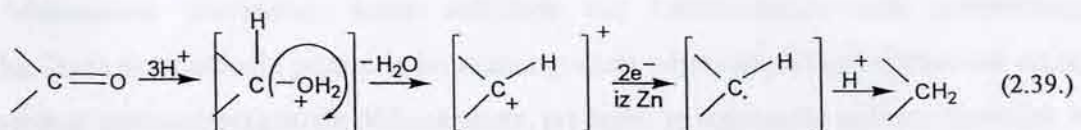


2.3.2. Reakcioni put uz koroziju metala

Redukcija uz "aktivran metal", kao što su Zn ili Fe, se ostvaruje tako što metal snabdeva elektronima karbonilnu grupu, a sam se oksidiše prelazeći u hlorid. U prvom stepenu konverzije karbonilna grupa se redukuje do alkohola, što se može prikazati sledećom reakcionom shemom[71]:

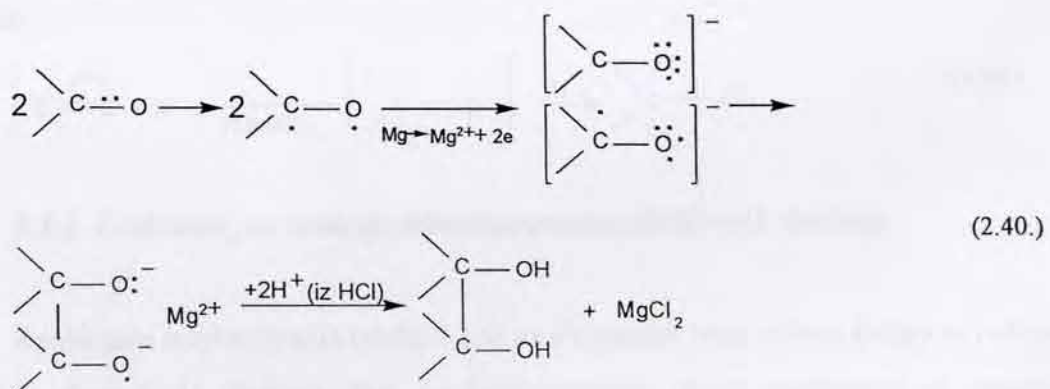


Redukcija karbonilne grupe uz "aktivani metal" ide do metil grupe kao što je prikazano sledećom jednačinom.



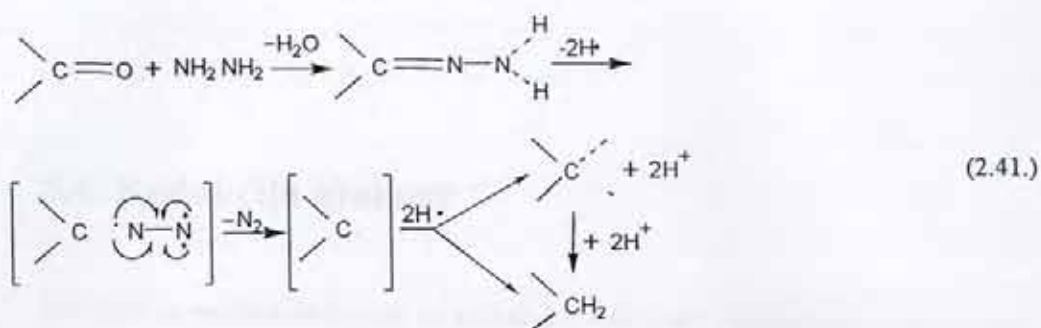
2.3.3. Reakcioni put uz stvaranje Grinjarovih jedinjenja

Organska-magnezijumova jedinjenja (Grinjarovi reagensi) mogu nastati pri redukciji karbonilne grupe u alkoholnu grupu. U reakciji karbonilne grupe i neaktivnog metala, npr. Mg, dolazi do reduktivne dimerizacije karbonilne grupe. Magnezijumov atom prenosi "nesparene" elektrone karbonilne grupe, stvarajući Grinjarovo jedinjenje. Reakcija se kompletno završava sa hlorovodoničnom kiselinom uz stvaranje magnezijum hlorida, što pokazuje reakciona shema.



2.3.4. Reakcioni put po Wolff-Kishneru

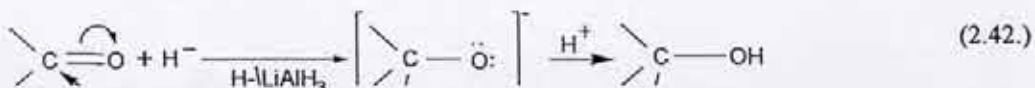
Karbonilna grupa se redukuje (Wolff-Kishnerovom redukcijom) do alkena po reakcionom putu datom jednačinom 2.41 Kondenzacijom hidrazina ($\text{NH}_2 \text{ NH}_2$) sa karbonilnom grupom nastaju hidrazoni. U prisustvu baze, na povišenim temperaturama, ovi derivati se razlažu uz izdvajanje azota.



Mehanizam eliminacije azota uključuje niz bazno-katalizovanih premeštanja vodonika. Baza prvo uklanja proton iz hidrazina gradeći odgovarajući delokalizovan anjon. Do ponovnog protonovanja može doći na azotu, pri čemu se regeneriše polazni materijal, ili na ugljeniku, što daje redukovani proizvod. Baza zatim uklanja jedan proton sa azota nagrađenog intermedijera gradeći nov anjon koji se brzo irreverzibilno razgradije oslobađajući azot. Tako nastali alkil-anjon se brzo protonuje u ugljovodonik.

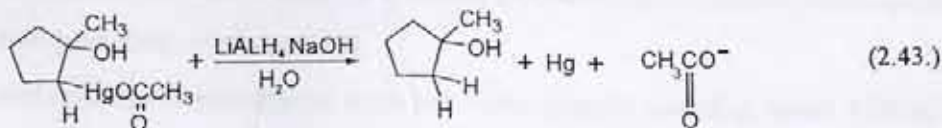
2.3.5. Reakcioni put sa hidridima

Karbonilni ugljenik se može redukovati i pomoću hidridnog reagensa[72] odnosno H⁻ jona. Takvi reagensi su: litijum-aluminijum hidrid, natrijum-borhidrid i litijum-borhidrid. Vodonik H⁻ iz hidrida se adira na ugljenik karbonilne grupe, a proton rastvarača se adira na kiseonik:



2.3.6. Reakcioni put reakcije demerkurovanja alkilživinih derivata

Reakcijom merkurovanja merkuri soli na dvostruku vezu alkena dobija se jedinjenje alkilživin denvat. U sledećoj fazi (demerkurovanje), živin supstituent se zamenjuje vodonikom iz litijum-aluminijum-hidrida u alkalijama[73]



Ovaj mehanizam reakcije redukcije (u kojoj se stvara metalna živa) je kompleksan i nije sasvim poznat.

2.4. Redukcija glukoze

Glukoza se može redukovati na tri načina, hemijski, redukcijom uz prisustvo enzima i elektrohemijiski.

2.4.1. Hemijska redukcija D-glukoze

Hemijskom katalitičkom hidrogenacijom D-glukoze (industrijski primenjena 1912 godine), u prisustvu nikla kao katalizatora, je omogućena industrijska proizvodnja D-sorbitola. Kasnije su korišćeni i drugi katalizatori kao što su legure Ni-Al, Pt, Pd, Ru, ReniNi[74-77], a ovaj proces se izvodi pri pritisku od 80 do 100 bara i temperaturi od 120⁰ do 160⁰C, a traje oko 60 minuta. Vrlo malo radova je posvećeno kinetici heterogene reakcije između vodonika i D-glukoze u procesu dobijanja sorbitola. Na kinetiku hemijske hidrogenacije D-glukoze utiču koncentracija katalizatora (u industriji se koristi skeletni nikal), brzina mešanja, koncentracija reaktanta - glukoze, temperatura i pritisak.

Sumarna reakcija može biti prikazana na sledeći način.



Uticaj koncentracije katalizatora je ispitivan menjanjem njegove koncentracije između 1 i 5 mas. %. Pokazano je da brzina reakcije raste sa povećanjem koncentracije katalizatora do vrednosti od oko 4 mas. % i daljim povećavanjem njegove koncentracije brzina reakcije teži graničnoj vrednosti[78].

Brzina ove reakcije je konstantna kada je brzina rotacije mešalice iznad 550 o/min. što znači da su ograničenja u transportu mase potpuno eliminisana, a na većim brzinama rotacije sinteza se ostvaruje u režimu homogene kinetike.

Koncentracija rastvorenog vodonika u vodenim rastvorima je uglavnom posledica fizičke rastvorljivosti koja odgovara parcijalnom pritisku u gasnoj fazi. Dakle, porast ili

opadanje pritiska vodonika u reakcionaloj posudi će usloviti porast ili opadanje koncentracije rastvorenog vodonika u tečnoj fazi gde se reakcija odigrava. Pri promeni pritiska od 35 do 70 bara brzina reakcije linearno raste. Iz zavisnosti promene pritiska vodonika od brzine reakcije određuje se red reakcije po vodoniku koji je u ovom slučaju jedan[79].

Brzina reakcije zavisi i od koncentracije glukoze. Tako, kada je koncentracija glukoze menjana u granicama od 0.28 do 1 11 mol dm⁻³ pokazano je da je ta zavisnost linearna i da sa porastom koncentracije glukoze raste brzina reakcije redukcije glukoze. Na osnovu dobijenog nagiba (dijagram zavisnosti brzine reakcije od koncentracije)[79] zaključeno je da je reakcija prvog reda po glukozi.

Brzina reakcije se povećava sa porastom temperature. U tabeli 2.9 prikazane su vrednosti konstante brzine ove reakcije u funkciji temperature [79]

Tabela 2.9. Zavisnost konstante brzine reakcije redukcije glukoze od temperature[79].

Temperatura (K)	Konstanta brzine reakcije k_1 ($s^{-1} \times 10^{-4}$)
398	1.5
408	2.4
423	4.2
435	6.4

2.4.2. Reakcija hidrogenovanja glukoze uz pomoć enzima

Enzimi su supstance proteinskog karaktera i pokazuju sve osobine proteina (velika molekulska masa, grade koloidne rastvore, amfoternog su karaktera itd.).

Reakcija uz prisustvo enzima se može napisati.



gde su E-enzim, S-supstrat, ES-kompleks enzim-supstrat, P-proizvod

Mehanizam dejstva enzima nije do danas sa sigurnošću poznat. Najverovatnije je pretpostaviti da enzim gradi sa supstratom kompleks[80] koji je hemijski mnogo reaktivniji

od samog supstrata. Najvažnija njihova osobina je specifičnost njihovog dejstva tj. svaki enzim katalizuje jednu određenu hemijsku reakciju.

Poznato je da enzim glukoz-oksidaza katalizuje oksidaciju D-glukoze u glukonsku kiselinu uz izdvajanje vodonik peroksida[81], a enzim zymomonas mobilis katalizuje redukciju D-glukoze do D-sorbitola[83].

Pored enzimatske reakcije oksidacije postoje i pokušaji elektroenzimatske oksidacije glukoze na enzimskim elektrodama[82].

Sorbitol se može dobiti i kao viši proizvod fermentacije etil alkohola pomoću enzima Zymomonas mobilis[83] kada su u fermentacionom medijumu prisutni glukoza i fruktoza. Iznos dobijenog sorbitola je oko 11% u odnosu na ukupnu početnu količinu ugljenog hidrata. Najveća iskorišćenja po sorbitolu se dobijaju kada je početna količina ugljenog hidrata 15% (75 g dm^{-3} glukoze i 75 g dm^{-3} fruktoze), a sorbitol se dobija uz istovremenu proizvodnju etil alkohola. Proces se završava za oko 30 časova.

2.4.3. Elektrohemijska redukcija glukoze

Razvoj elektrohemijskog postupka za redukciju glukoze započeo je u XIX veku. Prvi pokušaj elektrohemijske redukcije D-glukoze na katodi od grafita u kiseloj sredini (sumporna kiselina) je patentirao Gunn[84]. U patentu se tvrdi da se na taj način dobija manit i da se 98 % glukoze redukuje.

Elektrohemijska redukcija glukoze, kao i monosaharida uopšte, ostala je nerešena više od 30 godina dvadesetog veka. Prva obimna istraživanja je vršio Krajton (Creighton) tridesetih godina dvadesetog veka. Rešenje ovog problema [85,86,87] je predloženo 1934 godine sa katodom od amalgamisanog olova, pri $\text{pH}=7-10$, temperaturi $20-30^{\circ}\text{C}$ i pri gustini struje od 10 mA cm^{-2} uz iskorišćenje od 55%. Već 1937 godine firma Atlas Powder Company (SAD) podigla je prvu fabriku za elektrohemiju redukciju glukoze. Ispitivanjem proizvedenog sorbitnog sirupa identifikovan je D-manit (oko 1 mas. %), 2-dezoksi-d-manit (oko 1 mas. %) 2-dezoksi-d-sorbit (oko 5 mas. %) i D-sorbit. Sastav sorbitnog sirupa je u dobroj saglasnosti sa teorijom o enolizaciji koju ubrzavaju i duže stajanje rastvora, visoka temperatura i veća koncentracija alkalija.

Od tog vremena počinju intenzivnija istraživanja u celom svetu na unapređenju i povećanju efikasnosti elektrohemijske redukcije glukoze[88] pa je u Švajcarskoj 1938

godine patentiran orginalni postupak[89] u kome je kao provodna so korišćen amonijum-sulfat sa dodatkom amonijaka i uz male gustine struje dobijeno iskorišćenje 70%.

Četrdesetih i pedesetih godina dvadesetog veka rađena je optimizacija ovog procesa u Japanu i u Rusiji, a u SAD su Hefti i Kolb patentirali nov postupak[90] elektrolize bez upotrebe dijafragme za odvajanje anolita od katolita (elektrolit je bio voden rastvor natrijum sulfita i glukoze jer natrijum sulfit obezbeđuje bolju provodnost elektrolita a istovremeno se sam oksidiše do natrijum sulfata).

Kasniji radovi su pokušavali da rasvetle uticaj pojedinih komponenti u elektrolitu[91] na sam tok elektrohemijske redukcije glukoze i da formulišu matematički model same reakcije[92]. Prvi rad koji tretira samu kinetiku reakcije redukcije glukoze[93] je objavljen 1985 godine a ispitivanja su rađena na rotirajućoj disk elektrodi od olova. Poslednje radove su objavili Kuhn i saradnici[94,95] koristeći protočne reaktore i olovnu katodu pri pH vrednostima rastvora od 3,7 i 11 gde su dobili iskorišćenje između 25 i 30% što je identično kod korišćenja Reni-Ni kao katode[96-97]. Postoјi nekoliko patenata[98-102] u kojima su optimizovani različiti katodni materijali, konstrukcije reaktora i pomoćne opreme za sintezu i prečišćavanje sorbitola.

Ustanovljeno je da na iskorišćenje struje po sorbitolu utiču gustina struje, sastav katolita, temperatura, katodni materijal, propustljivost dijafragme (membrane), itd. Wolfrom sa saradnicima[103] je proučavao elektrohemiju redukciju D-glukoze pri blagim alkalnim uslovima ($\text{pH} = 7-10$) i temperaturi rastvora ispod 30°C . Ustanovili su da se dobijeni proizvod satoji od sorbitola, sa malom količinom D-manitola (< 1 mas.%) 2-dezoksisorbitola (< 5%), 1- dezoksisorbitola, 2-dezoksi-D-manitola i određeni procenat heksitola nepoznate strukture.

Relativne količine sorbitola i manitola, dobijene neposrednom redukcijom D-glukoze mogu da variraju sa promenom koncentracije OH^- jona u katolitu. Sa povećanjem koncentracije hidroksilnih jona konstatovano je da se prinos materijala povećava, a prinos sorbitola smanjuje. Znajući da se u vodenim alkalnim rastvorima odigrava izomerizacija D-glukoze do D-fruktoze i D-manoze, lako je objasnit postojanje izolovanih proizvoda sve tri vrste pri redukciji D-glukoze. Sorbitol nastaje redukcijom D-glukoze i D-fruktoze, a manitol redukcijom D-fruktoze i D-manoze.

Očigledno je da se D-glukoza, kao i drugi saharidi pretvaraju redukcijom u brojne proizvode i da sastav dobijenih proizvoda zavisi od relativne brzine izomerizacije i brzine

redukcije. Uz alkalne rastvore, redukcija se može odvijati i u kiselim elektrolitima ($\text{pH} = 1,5$ - 7) konsteći Na_2SO_4 i sumpornu kiselinu[104].

Smanjeno iskorišćenje struje koje se dobija pri redukciji D-glukoze, na elektrodi od Raney-Ni, je prvenstveno posledica formiranja 2-dezoksisorbitola (5-10 mas. %). U toku elektrolize dolazi do formiranja fruktoze uz pomoć bazno katalizovane izomerizacije D-glukoze, dok se 2-dezoksisorbitol formira u sledećem stupnju redukcijom D-fruktoze na elektrodi. Smanjenje intenziteta nastajanja D-fruktoze se može suzbiti promenom pH vrednosti rastvora i konšćenjem protočnih reaktora, gde je vreme kontakta supstance sa elektrodom od Raney-Ni relativno malo.

U procesu katalize aglomeracija metalnog katalizatora i trovanje Raney-Ni su dva važna i dobro poznata deaktivaciona mehanizma[105]. Park i saradnici[106] su detaljno proučavali iskorišćenje struje po nastalom sorbitolu, pri elektrohemiskoj redukciji D-glukoze na Raney-Ni praškastoj elektrodi i ustanovili da iskorišćenje struje posle izvesnog vremena sa početnih 100% opadne na 50%. Elektroda od 10 g Raney-Ni praha je bila smeštena u prostoru koji je sa jedne strane bio ograđen polipropilenskom mrežicom, a sa druge strane staklenom fritom. Električni kontakt je bio ostvaren preko niklene šipke. Razlog smanjenju iskorišćenja struje autori objašnjavaju zagađenošću elektrode Raney-Ni i sukcesivno povećanim izdvajanjem vodonika. Sa povećanjem izdvajanja vodonika uočene su i fizičke promene na praškastoj Raney-Ni elektrodi. U početku crn i fino rasprostranjen prah Raney-Ni prerastao je u veće čestice i postao je svetlige boje. Da bi se povratilo početno iskorišćenje struje potrebno je izvršiti ispiranje Raney-Ni elektrode sa rastvorom NaOH (17mas. %) u trajanju od 90 min ili uz pomoć mlečne kiseline na 50°C u trajanju od 10 min.[107]. Ispitivani su i efekti promene koncentracije D-glukoze i gustine struje na iskorišćenje struje po sorbitolu. Visoka iskorišćenja su postignuta pri koncentraciji D-glukoze od 1.6 mol dm^{-3} i upotrebo malih gustina struje ($< 500 \text{ mA}$ po 10 g Raney-Ni). U nizu radova[108-113] je pokazano da katalizatori sa malom prenapetošću za izdvajanje vodonika, kao što je Reni-Ni i Pt, mogu uspešno da hidrogenuju organska jedinjenja. Jokić i saradnici[114] su proučavali redukciju D-glukoze na titanskoj elektrodi sa elektrokatalitičkom prevlakom $\text{MoFe}_{3-x}.\text{xPt}_x$ i dobili visoka iskorišćenja struje po sorbitolu pri relativno malim gustinama struje (do 10 mA cm^{-2}). Današnji pristup ovom problemu se sastoji u korишćenju katoda sa niskom prenapetošću za reakciju izdvajanja vodonika kao što su legure Ti i Ni (Ti_3Ni , Ti_2Ni , TiNi , TiNi_2 , TiNi_3 , TiNi_4)[115,116]. Za legure Ti_2Ni i TiNi dobijena su iskorišćenja struje po sorbitolu od oko 13% pri gustini struje od 5 mA cm^{-2} .

Uticaj sastava elektrolita na iskoršćenje struje po sorbitolu, kao i ostali uslovi korišćeni u eksperimentima u literaturi, dati su u tabeli 2.10.

Tabela 2.10. Uslovi za elektrohemiju reakciju D-glukoze dobijeni iz literature

red. br.	elektrodni materijal	poč.konc. glukoze /mol dm ⁻³	t/ ⁰ C	pH	pomoći elektrolit/mol dm ⁻³	j ili E	$\eta_0/\%$	lit.
1.	Reni-Ni prah	1.6	60	5-7	0.4 CaBr ₂	500mA na 10g	79	96
2.	Reni-Ni prah	1.6	60	7	0.4 CaBr ₂	10mA na 10g	95	96
3.	Pb/Hg	0.8	20-30	11	NaBr	-2.1V (SCE)	27	97
4.	Zn/Hg	1.6	20-30	11	NaBr	-1.95 V (SCE)	35	97
5.	Hg	0.8	20-30	11	Et ₄ NBr	-2.2V (SCE)	46	97
6.	Cd/Hg	0.8	20-30	11	NaBr	-2.0V (SCE)	14	97
7.	Zn/Hg	0.8	55	7	0.4 CaBr ₂	-1.7V (SCE)	20	98
8.	Reni Ni	1.6	60	7	0.4 CaBr ₂	200mA na 2g	83	96
9.	Cd	0.83	20	3	0.02ZnSO ₄	20mA/cm ²	10	94
10.	Pb/Hg	0.83	20	3	0.02 ZnSO ₄	20mA/cm ²	16	94
11.	Ni	0.83	20	3	0.02 ZnSO ₄	20mA/cm ²	0	94
12.	Zn	0.83	20	3	0.02 ZnSO ₄	20mA/cm ²	18	94
13.	Cd	0.83	20	11	0.02 ZnSO ₄	20mA/cm ²	12	94
14.	Pb/Hg	0.83	20	11	0.02 ZnSO ₄	20mA/cm ²	22	94
15.	Zn	0.83	20	11	0.02 ZnSO ₄	20mA/cm ²	25	94
16.	Ni	0.83	20	11	0.02 ZnSO ₄	20mA/cm ²	0	94
17.	Pb	1.0	30	-	0.1Na ₂ SO ₃	32mA/cm ²	96	93
18.	Pb	1.0	28	-	0.1Na ₂ SO ₄	32mA/cm ²	65	93
19.	Pb/Hg	1.8	30	7-10	0.5Na ₂ SO ₄	-1.5-1.7V (SCE)	56	93

*Odnosi se na procentni sastav dobijenog proizvoda

Iz tabele 2.10 se može zaključiti da se optimalni prinos dobija pri radu na srednjim temperaturama rastvora (20-30 ⁰C), malim gustinama struje, pH vrednosti rastvora od 8 do 10, i katodama kod kojih je visoka prenapetost za reakciju izdvajanja vodonika (neželjena sporedna reakcija). Glavni uzroci malog iskoršćenja struje su odigravanje reakcije izdvajanja vodonika i redukcije fruktoze.

Zahvaljujući razvoju jonoizmenjivačkih membrana i da bi se povećala ekonomičnost procesa, sinteza sorbitola se ostvaruje uz istovremenu sintezu i glukonske kiseline. Glukonska kiselina se dobija posrednom oksidacijom glukoze sa bromom dobijenim oksidacijom Br⁺ jona na anodi. Kao osnovni elektrolit se koristi NaBr i CaBr₂

2.4.3.1 Katodni materijali

Smirnova i Kovačenko[119] su podelili katodne materijale u tri kategorije. Prva kategorija su materijali sa visokom prenapetošću za reakciju izdvajanja vodonika (Pb, Hg, Zn-Hg, Pb-Cu, Sn-Hg, Sn, In, Te, Ga, Bi). Druga grupa uključuje Cu, Ag, Ge, C, Ti, Cu-Sn, Ce-Pb. Treća grupa metala su Pt, Ni, Al, Co. Iskorišćenje struje za redukciju organskih materijala za prvu grupu materijala je 40 do 70%, za drugu od 15 do 30% i za treću grupu je između 3 i 7%.

Za redukciju D-glukoze korišćeni su razni elektrodni materijali i to samo oni sa visokom prenapetošću izdvajanja vodonika (Pb, Th, Cd, Zn) i njihovi amalgami. Amalgamisana olovna elektroda se slično ponaša kao i živina. U slučaju kad se reakcija odigrava na amalgamu postoji mogućnost da se na površini elektrode stvori sloj natrijum-amalgama koji zatim sekundarno razlaže vodu i daje atomski vodonik[124]. Natrijum hidroksid koji se dodaje u elektrolit ima trostruko dejstvo. Prvo da u alkalnoj sredini potencijal izdvajanja vodonika pomeri ka negativnijim vrednostima, drugo da uspori razlaganje natrijum amalgama sa elektrode i treće da ravnotežu između poluacetalnog i aldehidnog oblika glukoze pomeri ka aldehidnom obliku.

Rastvorljivost metala u živi pri stvaranju amalgama varira u vrlo širokim granicama[117] što se objašnjava položajem metala u periodnom sistemu i njihovim temperaturama topljenja. Što je viša temperatura topljenja metala to je njegova rastvorljivost u živi manja. Za metale sa temperaturom topljenja od 300 do 400 °C rastvorljivost iznosi oko 1 mas %. Za temperature topljenja metala veće od 1000 °C rastvorljivost ne prelazi 0.1 mas %.

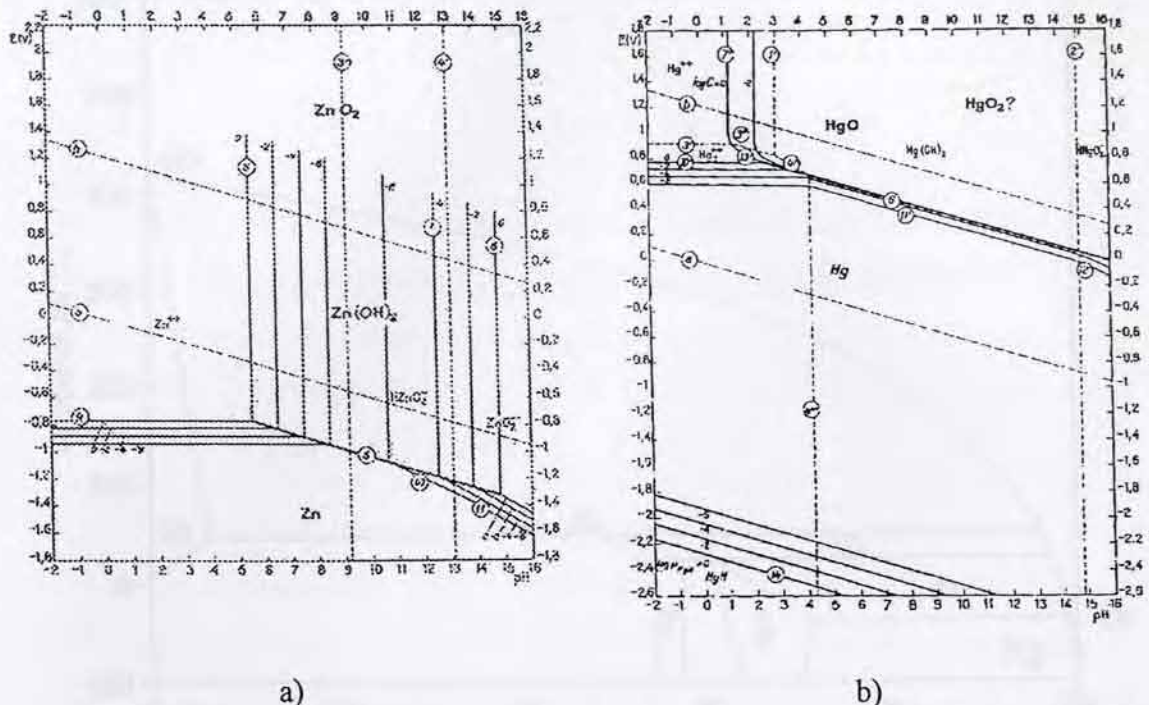
Različito rastvaranje metala u živi može biti objašnjeno jačinom veze između atoma rastvorenog metala i atoma žive. Što je jača međuatomska veza u metalu to je stabilnija kristalana rešetka metala što ima za posledicu manju rastvorljivost metala u živi.

Metale možemo podeliti prema njihovoj brzini rastvaranja u živi na četiri grupe. Prvoj grupi pripadaju alkalni i zemnoalkalni metali (litijum, natrijum, kalijum, rubidijum, cezijum, kalcijum, stroncijum, barijum). Ovoj grupi pripadaju i neki elementi iz grupe retke zemlje (lantan, cerijum). Svi ovi metali formiraju sa živom relativno čvrsta jedinjenja. Prenapetost za izdvajanje vodonika na ovom tipu amalgama se ne razlikuje mnogo od prenapetosti izdvajanja vodonika na živi.

U drugu grupu amalgama spadaju: cink, olovo, kadmijum, talijum, kalaj, indij, bizmut, zlato, srebro, bakar, aluminijum i galijum. Svi ovi metali se lako amalgamisu i dobro rastvaraju u živi, a prenapetost za izdvajanje vodonika na amalgamisanom metalu se neznatno menja.

Treću grupu čine gvožđe, nikl, kobalt, titan, cirkonijum, vanadijum, nijobijum, hrom, molibden, volfram, renijum, platina, iridijum, osmijum, rodijum i rutenijum. Niska prenapetost za reakciju izdvajanja vodonika, koja je karakteristična za ovu grupu metala, naglo raste sa njihovim amalgamisanjem. U četvrtu grupu spadaju arsen, germanijum, berilijum, telur, selen, bor i nekoliko drugih elemenata koji se ne rastvaraju u živi i ne grade amalgame.

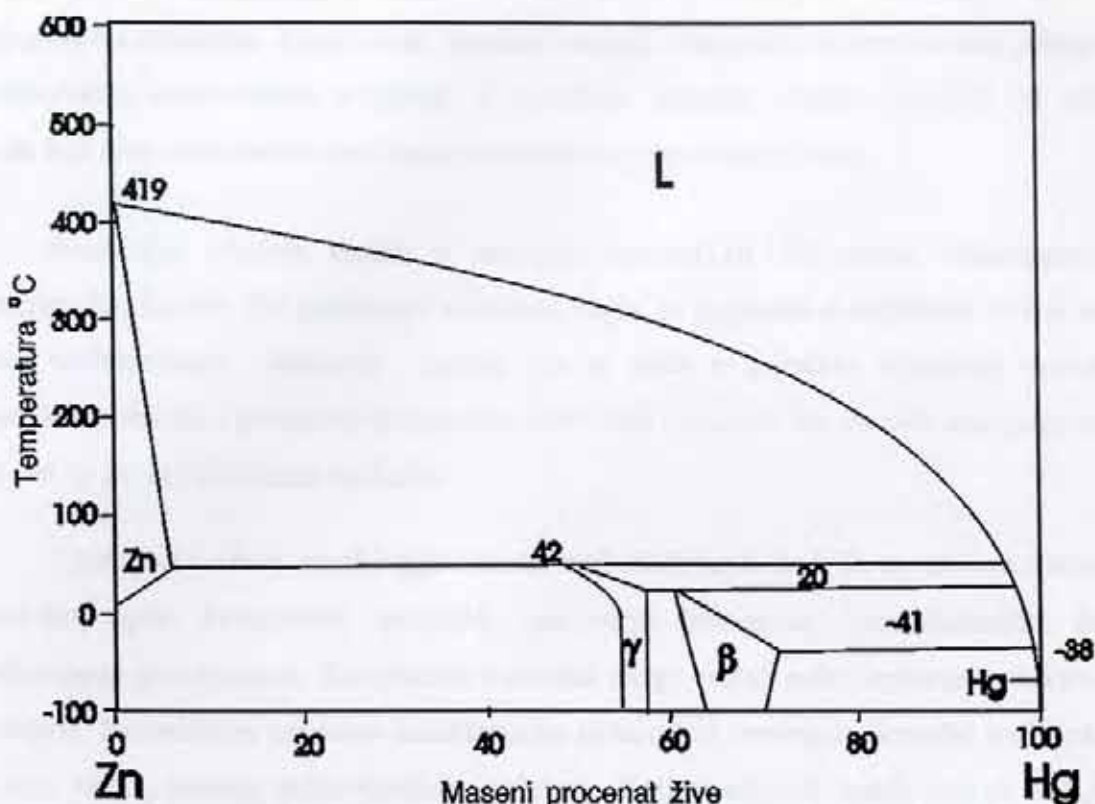
Metali su kao katodni materijal uglavnom nepostojani i podležu koroziji u vodenoj sredini i nizu organskih rastvarača, pri čemu se korozija u vodenoj sredini odvija uz izdvajanje vodonika. Taj proces u mnogome zavisi od pH-vrednosti rastvora i prirode metala. Termodinamička postojanost metala u funkciji pH je poznata gotovo za sve metale i odreduje se iz Purbeovih (Purbaix) dijagrama[118]. Purbeovi dijagrami za Zn i Hg su dati na slici 2.24.



Slika 2.24. Termodinamička postojanost cinka (a) i žive (b) u zavisnosti od potencijala i pH rastvora

Sa dijagraama (Sl. 2.24) se može zaključiti da je živa stabilna u širokom opsegu potencijala i pH vrednosti, a cink je nestabilan u kiselim i veoma baznim rastvorima, dok je u blago baznim rastvorima (pH između 8 i 10) u pasivnom stanju. Metalni cink je postojan jedino pri znatnoj katodnoj polarizaciji u širokoj oblasti pH vrednosti.

Razlika između termodinamičke postojanosti i ponašanja metalnih materijala u realnom vremenu je posledica postojanja pasivnog filma na površini metala i prenapetosti za reakciju izdvajanja vodonika. Zato, u neutralnim rastvorima, kao katode se mogu koristiti gotovo svi poznati metali. Izuzetak čine alkalni i zemnoalkalni metali i neki lantanidi. Oni se, međutim, mogu koristiti kao amalgami. Cink i živa formiraju leguru sa međufazama koja ima osobine i čvrstih rastvora i hemijskih jedinjenja[119]. Dvokomponentna legura Zn/Hg, prema dijagramu stanja prikazanom na Sl. 2.25, sadrži u veoma malom opsegu koncentracija čiste metale Zn i Hg. U leguri čiji je sadržaj cinka između 54 i 56 mas. % postoji homogena oblast γ faze. Druga homogena oblast se javlja između 64 i 70 mas. % Zn što odgovara β fazi.



Slika 2.25. Dijagram stanja legure Zn-Hg

Rastvorljivost Zn u Hg na sobnoj temperaturi (u mas. %) je 1.8 % (5.3 at.), na 15-18 °C, 2-2.1 na 20 °C (ili 5.85-6.15 at.), 2.2 na 20 °C (6.4 at) i 1.99 na 20 °C (5.83 at.). Eutektička tačka je utvrđena na 0.56 % Zn (170 at.), -41.6 °C. Pretpostavke o postojanju Hg_2Zn_3 i $HgZn_2$ su bile zasnovane na ne sasvim proverenim dokazima dok noviji radovi sugerisu postojanje ovih prelaznih faza. Legura sa 10 % Zn (masenih) pokazuje da niža tačka transformacije leži u uslovima koji se približavaju ravnotežnim na 19-20 °C i gornja tačka na 42.9 °C. Granica β i γ faza je zasnovana na prelomima isoterme. Nije sigurno da ova granica faza predstavlja ravnotežnu liniju pošto je potrebno vrlo dugo vremena za kompletiranje peristatičke reakcije na 43 °C.

Difrakcijom X zraka je utvrđeno postojanje jedne od dve prelazne (ili medjufaze) faze na sobnoj temperaturi, dok je druga stabilna na nižim temperaturama od sobne. Linije ove faze se mogu uočiti na fotogramima legura sa 65-90% at. Zn i 51-88 at.% Zn. Sastav ove faze se prepostavlja da odgovara $HgZn_3$ ili Hg_3Zn_8 (72.73 at. %Zn).

Rastvorljivost Hg u Zn je 13 at.%Hg. Parametar kristalne rešetke pokazuje ovu rastvorljivost kao 2-3 at.%Hg. Kristalna struktura β faze je nepoznata a γ faza verovatno ima

heksagonalnu strukturu. Kada metali hemijski reaguju, formiraju se intermetalna jedinjenja. Karakteristika intermetalnih jedinjenja je specifična kristalna rešetka (različita od rešetki metalova koji čine intermetalno jedinjenje) sa uređenim rasporedom atoma.

Prodiranje alkalnih metala u materijal katode[120-123] menja elektrohemiju karakteristiku katode. Pri prodiranju natrijuma naglo se pomeraju u negativnu stranu tačke nultog naielktrisanja katodnih metala. Na taj način se pojačava adsorbcija neutralnih organskih molekula i povećava prenapetost izdvajanja vodonika što izaziva smanjenje struje koja ide na proces izdvajanja vodonika.

Uzimajući u obzir morfologiju i sastav ovih materijala, sledi da su oni najverovatnije mikro-heterogeni kompozitni materijali, pre nego homogene, termodinamički dobro karakterisane prave legure. Kompozitni materijali mogu nastati mikrolegiranjem elektrodnih materijala. Irverzibilna promena karakteristika elektrodnih materijala (katode) može nastati i u toku samog procesa elektrohemiske redukcije. Katjoni alkalnih metala koji se dodaju da povećaju provodnost elektrolita mogu da, pri određenim uslovima, reaguju sa elektrodama (katodama ili anodama).

Pri ispitivanju materijala katode upoređuju se reverzibilni oksidaciono - redukcioni potencijali i kinetički parametri istraživane reakcije i reakcije oksidacije metala elektrode. Elektrodnii procesi često se usložnjavaju istovremenim odigravanjem paralelnih reakcija. Jedna od takvih reakcija može biti razelektrisanje molekula rastvarača. Kao sredina najviše se koriste vodeni rastvor pa reakcija izdvajanja vodonika obično prati glavni katodni proces, učestvuje u njemu i utiče na njegovu brzinu i smer.

2.4.3.2. Anodni materijali

Izbor materijala koji se koriste kao anode u procesima elektrohemiske sinteze znatno je otežan, jer pri anodnoj polarizaciji većina metala podleže procesu rastvaranja. Kao materijali za anodu mogu poslužiti samo oni materijali koji ostaju stabilni u oblasti potencijala izdvajanja kiseonika na njima. U takvim uslovima mogu se koristiti sledeći materijali: platina, zlato, grafit i viši oksidi nekih metala (PbO_2 , MnO_2), a u novije vreme i DSA (tzv dimenziono stabilne anode). Površinski oksidi igraju važnu ulogu u anodnoj

oksidaciji organskih supstanci[125-127]. Osim hemijske postojanosti ovi metali moraju posedovati visoku električnu provodljivost.

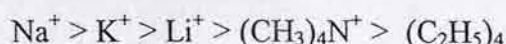
2.4.3.3. Rastvarači

Rastvarači, koji se koriste u procesima elektrohemijske sinteze, moraju odgovarati sledećim zahtevima.

- 1) rastvarač mora biti postojan u oblasti potencijala, neophodnog za odigravanje procesa redukcije ili oksidacije datog organskog jedinjenja;
- 2) u rastvaraču se moraju dobro rastvarati elektroprovodljivi dodaci da bi se formirali rastvori koji moraju imati dovoljno visoku elektroprovodljivost;
- 3) rastvarač mora dobro da rastvara organsku supstancu, koja podleže elektrohemijskoj sintezi.

2.4.3.4. Osnovni elektroliti

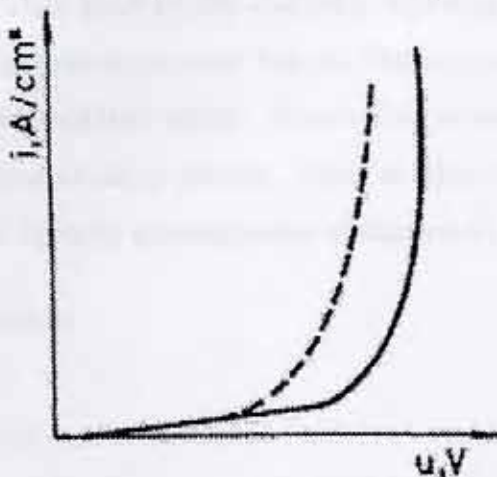
Dobra rastvorljivost mnogih neorganskih soli i dovoljno visoka elektroprovodljivost njihovih rastvora postiže se korišćenjem rastvarača sa visokom dielektričnom konstantom. Za pripremanje rastvora bliskih neutralnom pH, obično se primenjuju sulfati, fosfati, perhlorati, tetraborati i hloridi baznih metala. Osim toga, uspešno se koriste soli baznih metala, supstituenti amonijaka i razne aromatične sulfokiseline. Na tok reakcije elektrohemijske transformacije organskih supstanci bitan uticaj pokazuje priroda katjona. Pri redukciji organskih supstanci koje se teško redukuju, katjoni se mogu razelektrisavati na katodi, obrazujući amalgame na živinim elektrodama. Brzina stvaranja amalgama smanjuje se u sledećem nizu katjona.



Veliki i slabo hidratizovani joni adsorpcijom na površini anode otežavaju izdvajanje vodonika pa prenapetost izdvajanja vodonika raste.

2.4.3.5. Potencijal elektrode i gustina struje

U irreverzibilnim sistemima koji se susreću u procesima elektrosinteze potencijal elektrode tokom reakcije se određuje termodynamičkim parametrima sistema i zavisi od niza faktora kao što su materijal elektrode, priroda rastvarača, gustina struje, itd. Veza između potencijala elektrode i gustine struje obično se izražava polarizacionom krivom (Sl.2.26).



Slika.2.26. Tipična polarizaciona kriva u rastvoru osnovnog elektrolita (—) i polarizaciona kriva osnovnog elektrolita sa dodatkom organskog jedinjenja (—)

Dodavanje u rastvor organske supstance, koja učestvuje u elektrohemijijskom procesu, dovodi do pomeranja elektrodnog potencijala (depolarizacija), kao što je na Sl. 2.26 naznačeno isprekidanom linijom. Kao katodni depolarizatori [128-131] mogu poslužiti sva organska jedinjenja koja se mogu redukovati na katodi. Depolarizacijom se menja potencijal elektrode pa se proces izdvajanja gasa može zameniti procesom redukcije ili oksidacije. Veličina pomeranja potencijala elektrode u znatnom stepenu zavisi od koncentracije organske supstance u rastvoru.

2.4.3.6. Temperatura

Temperatura ima znatan uticaj na kinetiku redukcije organskih jedinjenja. S porastom temperature raste brzina depolarizacije, a isto tako raste i brzina difuzije depolarizatora prema katodi. S druge strane, prenapetost vodonika opada sa porastom temperature, pa temperatura utiče na promenu potencijala katode pri konstantnoj gustini struje. Povećanje temperature elektrolita dovodi i do porasta koefcijenta difuzije, što

olakšava dostavljanje reagujućih komponenti do površine elektrode, što omogućava korišćenje većih gustina struje. Sa povećanjem temperature dolazi do povećanja elektroprovodljivosti rastvora i sniženja njegove viskoznosti. Takođe, prenapetost vodonika i kiseonika sa povećanjem temperature se smanjuje. Zato se često pri visokim temperaturama reakcija odigrava tako da se kao produkti dobijaju oksidovane ili redukovane vrste. Sniženje temperature prostora oko elektrode doprinosi povećanju stabilnosti radikala što dovodi do povećanja prinosa po struju dimeru. Ako su polazne supstance i produkti njene transformacije dovoljno termički stabilni, svršishodno je onda voditi proces pri povećanoj temperaturi u cilju intenziviranja procesa. Tako se oksidacije naftalina, antrahinona, α -naftola i piridina mogu izvoditi pri temperaturi elektrolita do 110°C [91].

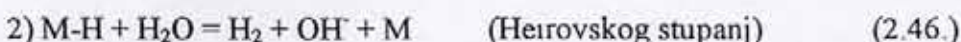
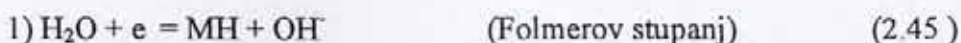
2.4.3.7 Katalizatori

Katalitička svojstva elemenata, kao i njihova reakciona sposobnost, određuju se njihovom elektronskom konfiguracijom i slede periodična svojstva. Čitava heterogeni kataliza (reakcija hidrogenovanja), kao i sama katodna reakcija izdvajanja vodonika, zavise od entalpije adsorpcije H - adatoma na površini supstrata.

U tom smislu, elementi prelazne grupe metala sa polupopunjениm d-orbitalama u osnovnom stanju karakterišu se snažnom hidridnom vezom H-adatoma, koja se teško raskida, pa je intermedijer (M-H) suviše spor za reagovanje. Na drugoj strani, d-metali sa popunjrenom d-orbitalom nemaju slobodnih mesta za adsorpciju i vezivanje H-adatoma, te samim tim što je ova veza slaba, intermedijer (M-H) suviše kratko postoji da bi mogao da učestvuje u daljem prenosu atoma vodonika prilikom hidrogenovanja ili katodnog izdvajanja molekula vodonika. Negde u sredini periodnog sistema nalaze se elementi prelazne grupe sa delimično sparenim d-poluorbitalama. Ovi d-metali ispoljavaju srednje vrednosti entalpija adsorpcione veze H-adatoma, i srednju jačinu veze, te saglasno principu Sabatier-a u katalizi, ispoljavaju i najveću katalitičku aktivnost[132].

2.4.3.8. Mehanizam reakcije elektrohemijske hidrogenacije

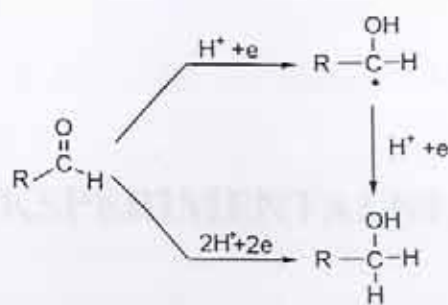
Reakcija elektrohemijske hidrogenacije, ECH, je konkurentna sa RIV koja rezultira elektrohemijskom ili hemijskom desorpcijom vodonika. Jedan od mogućih mehanizama ovih reakcija može se predstaviti jednačinama[133]:



Iako su ovi reakcioni putevi prihvatljivi i dalje nisu na zadovoljavajući način rasvetljeni mehanizam i kinetika tih reakcija. U literaturi[128,129] u većini slučajeva, je nađeno da se RIV na Reni-nikal katodi odigrava po Folmer-Heirovski reakcionom mehanizmu. Međutim, u tom slučaju, nemoguće je ukazati na spor stupanj zato što postoje dva ekvivalentna rešenja, u kojima se kinetički parametri za reakcije Folmera i Heirovskog mogu međusobno zamjeniti (tj. ne mogu se razlikovati).

Pokazano je da kod redukcije organskih supstanci stupanj koji određuje brzinu ukupne reakcije izdvajanja vodonika je stupanj Heirovskog u Folmer-Heirovski reakcionom mehanizmu[133].

Kinetika elektrohemijske reakcije redukcije aldoheksoza još uvek nije u potpunosti razjašnjena prvenstveno zbog kompleksnosti reakcije. Neki autori[133] smatraju, na osnovu do sada obavljenih istraživanja, da je mehanizam elektrohemijske redukcije glukoze sličan mehanizmu reakcije redukcije malih organskih molekula i da se odvija po tipu radikala što je shematski prikazano na slici 2.27



Slika 2.27 Stupnjevi redukcije D - glukoze do D - sorbita

Sva do sada obavljena istraživanja nisu u potpunosti razjasnila mehanizam elektroredukcije D glukoze.